

## میرایی متغیر در تحلیل ناخطی هندسی صفحه‌های خمشی به روش رهایی پویا\*

محمد رضایی پزند<sup>(۱)</sup> حسین استیری<sup>(۲)</sup>

**چکیده** هدف اصلی این مقاله، تحلیل ناخطی صفحه‌های خمشی با فن تفاوت محدود است. راهکار رهایی پویا بر پایه میرایی متغیر رابطه‌سازی خواهد شد. برای رسیدن به همگرایی مناسب، از سه معیار سرعت، کارمایه جنبشی و نسبت جابه‌جایی دو گام پایایی بهره‌جویی می‌شود. برای مسئله‌های گوناگون صفحه خمشی، مقایسه پاسخ‌های حل با میرایی متغیر و ثابت انجام می‌پذیرد. تجربه‌های عددی نشان می‌دهند که میرایی متغیر، شایسته‌تر از گونه ثابت است. با وجود این، روش پیشنهادی نویسندگان سبب کاهش شمار تکرارها و زمان تحلیل خواهد شد. آشکار می‌شود که با وجود توانایی‌های تفاوت محدود، این روش به انتخاب پاره‌ای از عامل‌ها بسیار حساس می‌باشد؛ به گونه‌ای که تغییر اندک در مقدار این عامل‌ها، سبب افزایش شمار تکرارها و زمان تحلیل و گاه واگرایی پاسخ خواهد شد. دیگر هدف این مقاله، مرور کوتاهی بر پژوهش‌های راه حل رهایی پویای صفحه‌های خمشی می‌باشد.

**واژه‌های کلیدی** رهایی پویا؛ تفاوت‌های محدود؛ میرایی؛ معیار همگرایی؛ صفحه خمشی؛ تغییر شکل‌های بزرگ.

### Variable Damping in Geometric Nonlinear Plate Bending Analysis using Dynamic Relaxation Method

M. Rezaiee-Pajand

H. Estiri

**Abstract** The main purpose of this paper is the nonlinear analysis of bending plates with the finite difference. Based on the variable damping, the dynamic relaxation technique will be utilized. In order to achieve proper convergence, the velocity, kinetic energy and two successive displacement ratio criteria are used. For various bending plate samples, the results of constant and variable damping are compared. Numerical examples show that the variable damping is better than the constant damping. However, author's scheme reduces the number of iterations and the time duration. The finite difference method is very sensitive to the choice of some factors. A slight change in the amount of these parameters will increase the number of iterations and the time duration. Moreover, sometimes the solution procedure is divergenced. Another goal of this article is presenting a brief review of the dynamic relaxation approach in solving the bending plates.

**Key Words** Dynamic relaxation; Finite difference; Damping; Convergence criterion; Bending plate; Large deformations.

\* تاریخ دریافت مقاله ۹۴/۶/۲ و تاریخ پذیرش آن ۹۴/۱۱/۲۱ می‌باشد. DOI: 10.22067/fum-mech.v28i2.49314

(۱) نویسنده مسئول: استاد، گروه عمران، دانشکده مهندسی، دانشگاه فردوسی مشهد. mrpajand@yahoo.com

(۲) دانشجوی دکتری سازه، گروه عمران، دانشکده مهندسی، دانشگاه فردوسی مشهد.

## مقدمه

به سبب اهمیت ویژه و کاربردی صفحه‌ها در ساخت سازه‌های مکانیکی و عمرانی، پژوهش‌های بسیاری بر روی رفتار آنها انجام شده است. هم‌چنین، روش‌های دقیق و عددی زیادی برای حل این سازه‌ها پیشنهاد کرده‌اند [1] و در آغاز کار، به مسئله‌های ایستایی و سپس به نوسان آزاد آنها پرداختند. نخستین رابطه‌های ریاضی را اولر برای صفحه‌های بسیار نازک نوشت. وی نوسان آزاد غشاهای چهارپهلوی، دایره‌ای و سه‌گوشه را بررسی نمود. برنولی برای صفحه‌هایی که با تیرهای خمشی شبکه‌بندی شده بودند، روش اولر را به کار برد. گرمین معادله‌های دیفرانسیل صفحه‌ها را برای نخستین بار گسترش داد [2].

نگره کامل خمش صفحه‌ها را کیرشهف پیشنهاد کرد. او پنداشت‌های برنولی برای خمش تیرها را به کار گرفت و معادله‌های دیفرانسیل صفحه‌ها را نوشت. در سال ۱۹۰۷، فوپل نگره ناخطی صفحه‌ها را به چاپ رساند. ون‌کارمن معادله‌های دیفرانسیل برای تغییرشکل‌های بزرگ صفحه‌ها را در سال ۱۹۱۰ پیشنهاد نمود. پرسکات روشی برای به کار گرفتن کرنش‌های میان صفحه نمایش داد [2]. پاسخ معادله‌های دیفرانسیل ون‌کارمن را نخستین بار کیسر با استفاده از روش تفاوت‌های محدود در دسترس قرار داد [2]. به کمک تابع‌های مثلثاتی و سری فوریه، لوی معادله‌های ون‌کارمن را حل کرد و رابطه‌های حاکم بر خمش صفحه‌های نازک چهارپهلوی با تغییرشکل‌های بزرگ را به دست آورد [3]. پانو و ولمیر به حل مسئله‌های ناخطی ایستایی پرداختند. در سال ۱۹۲۵، نادای از فن تفاوت‌های محدود برای تحلیل بهره‌جست. این فرآیند عددی، برای صفحه‌هایی که استفاده از روش‌های تحلیلی برای آنها مشکل است، به نتیجه‌های بسیار مناسبی رسید. استوسی و گلاتز این فن را بهبود بخشیدند [2].

صفحه‌های نازک با نگره کیرشهف تحلیل می‌شوند. بر مبنای پنداشت‌های کیرشهف، پیش و پس از تغییرشکل عمود بر میان صفحه، عمود باقی می‌ماند. نگره راینر-میندلین اثر برش را وارد می‌نماید و صفحه خمشی با تغییرشکل برشی کم یا زیاد را تحلیل می‌کند. بر این پایه، عمودهای وارد بر میان صفحه پس از تغییرشکل نیز راست باقی می‌مانند، ولی بر میان صفحه عمود نخواهند بود [5, 4]. برگان و کلاف [6]، الگوی اجزای محدودی را برای صفحه‌ها و پوسته‌های نازک بر پایه روش ریلی-ریتز بنیاد نهادند. با به کار بردن فن لاگرانژ به هنگام، یانگ و بتی [7] یک جزء ناخطی برای حل ایستا و پویای صفحه‌ها رابطه‌سازی کردند. پاسخ ناخطی صفحه‌ها، با استفاده از روش نوارهای محدود، به وسیله داوه و همکاران [8] انجام پذیرفت. تحلیل صفحه‌های کشسان با تغییرشکل‌های بزرگ، با دشواری‌هایی همراه است؛ به گونه‌ای که شمار اندکی روش حل دقیق وجود دارد. با افزایش قدرت پردازش رایانه‌ها، روش‌های حل عددی و تقریبی برای تغییرشکل‌های بزرگ گسترش یافت. نتیجه‌های بی‌شماری از اینها تاکنون در دسترس قرار گرفته‌اند. رهایی پویا یکی از این روش‌ها می‌باشد. نخستین بار نام رهایی پویا به وسیله اُتر و دی [11-9] در میانه دهه ۶۰ میلادی به کار رفت. راهکار رهایی پویا از روش مرتبه دوم فرانکل [12]، گسترش یافته توسط فرانکل، سرچشمه می‌گیرد. نخستین کاربرد این راه حل در مسئله‌های ناخطی به راشتن باز می‌گردد. وی از این فرآیند برای تحلیل ناخطی هندسی صفحه‌های خمشی بهره‌جست [13]. او این فن را در مسئله‌های تحلیل تنش و تحلیل رفتار پس‌کمانشی صفحه‌ها نیز به کار برد [14]. باسو و داوسن [15] با این شیوه به تحلیل تغییرشکل‌های کوچک صفحه‌های ساندویچی همسانگرد و ناهمسانگرد با سطح مقطع ثابت و متغیر پرداختند.

آنچه در ادامه می‌آید بر پایه راهکار رهایی پویا

روش رهایی پویا، کدخدایان و همکاران همکاران [31] به تحلیل کمانشی و پس کمانشی صفحه‌ها پرداختند. تروی و صالحی [32] تحلیل خطی و ناخطی صفحه‌های قطاعی مرکب را به نتیجه رسانیدند.

در این پژوهش، صفحه‌های راست پهلو با فرض تغییر شکل‌های بزرگ و اثر خمش، با استفاده از راه حل تفاوت محدود و رهایی پویا تحلیل می‌شوند. نخست، عامل ضریب میرایی به‌گونه‌ای به دست می‌آید که همگرایی را برقرار نماید. در رابطه‌سازی‌های معمول، با ساده کردن رابطه‌های جرم و میرایی، مقدار میرایی در تکرارهای رهایی پویا مقداری ثابت پیدا می‌کند. در این‌جا، از میرایی متغیر نیز بهره‌جویی خواهد شد. در این‌گونه میرایی از جرم‌های ثابت، که در سرتاسر تحلیل یک مقدار دارند و نیز جرم‌های متغیر، که در هر تکرار به هنگام می‌شوند، استفاده می‌گردد. در بیشتر مسئله‌ها، پیشینیان معیار سرعت را برای همگرایی در تحلیل صفحه‌ها به روش رهایی پویا و تفاوت‌های محدود به کار می‌گرفتند. بر پایه معیار سرعت، اگر در تکرارهای رهایی پویا سرعت از مقدار خطای مجاز کمتر شد، سازه به حالت ایستا و در نتیجه به پاسخ می‌رسد. در این مقاله، افزون بر معیار سرعت، دو معیار انرژی جنبشی و نسبت جابه‌جایی دو گام پیاپی از تکرارهای رهایی پویا نیز به کار می‌رود و مقایسه‌ای بین آنها انجام می‌پذیرد.

### روش رهایی پویا

روش رهایی پویا، فن صریح حل دستگاه معادله‌های هم‌زمان می‌باشد. در این راهکار، جرم و میرایی ساختگی را به سامانه معادله‌های سازه ایستا می‌افزایند تا یک دستگاه پویای ساختگی به دست آید.

$$[M]^n \left\{ \ddot{X} \right\}^n + [C]^n \left\{ \dot{X} \right\}^n + [S]^n \{X\}^n = \{f\}^n = \{P\} \quad (1)$$

انجام پذیرفته است. راشتن کمانش صفحه‌های دارای انحنای نخستین با بارگذاری جانبی را بررسی نمود [16]. رفتار پس کمانشی صفحه‌های چندلایه دارای تغییر شکل‌های بزرگ را تروی و ویتریک [17] به سرانجام رسانیدند. آوار و راثو حل ناخطی صفحه‌های ناهمسانگرد دارای تکیه‌گاه‌های گیردار و ضخامت ثابت با بارگذاری یکنواخت جانبی را پیشنهاد کردند [18,19]. راشتن و هوک [20] پاسخ صفحه‌ها و تیرهای دارای تغییر شکل‌های بزرگ و رفتار ناخطی تنش و کرنش را به دست آوردند. این پژوهشگران تحلیل کمانش تیرها و صفحه‌های دارای یک تکیه‌گاه میانی را نیز انجام دادند [21]. تحلیل صفحه‌ها، شامل هر دو اثر ناخطی مواد و هندسی، به وسیله فرایز و همکاران انجام گرفت [22]. تروی [23] راهکار رهایی پویا را در رفتار ناخطی هندسی صفحه‌های قطاعی باریک‌شونده بررسی کرد. تحلیل گذرا و گذراسان صفحه‌های میندلینی را پیکا و همیتون [24] انجام دادند. شیوه تفاوت محدود برای تحلیل تیرهایی با خیر کوچک و شبکه‌بندی‌های برابر و نابرابر را تروی و آوانسیان به کار بردند [25].

آلشای و ماردیروشن [26] با استفاده از ضریب‌های وزنی برای جرم و میرایی، ترکیب اجزای محدود و رهایی پویا را برای یافتن پاسخ صفحه‌های خمشی به کار بردند. زانگ و یو [27] روش رهایی پویای وقتی بهبود یافته‌ای پیشنهاد کردند و از آن برای حل خمش کشسان-مومسان صفحه‌های دایره‌ای بهره‌جستند. تروی و عثمان [28] از شیوه تفاوت محدود رهایی پویا در تحلیل ناخطی هندسی صفحه‌های مستطیلی میندلینی همسانگرد استفاده کردند. تروی و صالحی [29] با بهره‌جستن از روش رهایی پویا و فن تفاوت‌های محدود، تغییر شکل‌های بزرگ صفحه‌های قطاعی زیر اثر بار یکنواخت را تحلیل نمودند. مقایسه روش تفاوت محدود و اجزای محدود رهایی پویا را نیز این پژوهشگران انجام دادند [30]. با بهره‌جویی از معیارهای پویایی پایداری و

عامل های  $f_i^n$ ،  $t^n$ ،  $C_{ii}^n$ ،  $m_{ii}^n$  به ترتیب، درایه قطری  $i$  ام از ماتریس های جرم و میرایی ساختگی، گام زمانی ساختگی، درایه  $i$  ام از بردار نیروی داخلی در تکرار  $n$  ام رهایی پویا می باشند. بار خارجی دستگاه ایستا با  $p_i$  نمایش داده می شود. شمار درجه های آزادی سامانه را با عامل  $ndof$  نشان می دهد. برابری های (۴ و ۵)، تا همگرایی به پاسخ پایدار تکرار می شوند. پنداشت قطری بودن ماتریس های جرم و میرایی ساختگی سبب می گردد که رابطه های روش رهایی پویا صریح باشند و تنها با عملگرهای برداری انجام شوند.

ولش و همکاران [33] و اتر و همکاران [34] نخستین تحلیلگرانی بودند که اندیشه جرم ساختگی را پیشنهاد نمودند و با استفاده از روش های عددی، تکرارهای رهایی پویا را بهبود دادند. راه حل رهایی پویا را وود [35] با سه تکراری دیگر مقایسه کرد. وی جرم ساختگی را با استفاده از کران بالایی شعاع طیفی ماتریس ضریبها پیدا کرد [36]. او نشان داد که نرخ همگرایی رهایی پویا، از روش های نیمه تکراری در تحلیل سازه ها بیشتر است. برو و بروتن [37] نشان دادند که روش رهایی پویا برای حل دستگاه معادله های خطی و به ویژه برای تحلیل سازه های قابی مناسب است. هم چنین، به این نتیجه دست یافتند که این فرآیند برای وارد کردن اثرهای ناخطی مفید می باشد. آنها پیشنهاد نمودند که جرم هر درجه آزادی، متناسب با درایه قطری آن در ماتریس سفتی سازه باشد. روشی برای تخمین میرایی بحرانی در روش رهایی پویا با استفاده از اصل ریلی را بونس [38] پیشنهاد داد.

نخستین شرط های پایداری راه حل را کسل و هُبس [39] یافتند. آنها برای واری همگرایی و پایداری عددی تحلیل های ناخطی با روش رهایی پویا، جرم ساختگی را با بهره جستن از نگره دایره گرشگورین (Gerschgorin) تخمین زدند. یک فرآیند

در این برابری،  $M$  و  $C$ ، به ترتیب، ماتریس های جرم و میرایی ساختگی قطری می باشند. بردارهای  $\dot{X}$ ،  $\ddot{X}$  و  $\ddot{X}$  به ترتیب، جابه جایی، سرعت و شتاب را نمایش می دهند. تحلیلگران ماتریس سفتی و بردار بارهای خارجی و نیروهای داخلی را به ترتیب با  $P$ ،  $S$  و  $f$  نشان داده اند. رونویس  $n$ ، نماد شماره تکرار در فن رهایی پویا است. پاسخ دستگاه (۱) هنگامی به دست می آید که نیروهای جرمی و میرایی ساختگی صفر شوند. به سخن دیگر، پاسخ حالت پایدار سامانه پویای (۱)، همان پاسخ دستگاه (۲) می باشد که در تحلیل های ایستا به کار می رود.

$$\{S\}\{x\} = \{f\} = \{P\} \quad (2)$$

باید افزود، بردار نیروی نامیزان  $R$  که سبب نوسان ساختگی سازه می گردد، رابطه زیر را دارد:

$$R = [M]\left\{\ddot{x}\right\} + [C]\left\{\dot{x}\right\} \quad (3)$$

می توان این گونه پنداشت که پاسخ ایستای سازه، در نیروی نامیزان صفر به دست می آید. در فن رهایی پویا، در هر گام زمانی  $t$ ، تغییر سرعت را خطی و شتاب را ثابت می پندارند. بر این پایه، با بهره جویی از تفاوت های محدود مرکزی، می توان برابری های زیر را برای رابطه های تکراری این راه حل به دست آورد:

$$\begin{aligned} \ddot{x}_i^{n+\frac{1}{2}} &= \frac{2m_{ii}^n - C_{ii}^n t^n}{2m_{ii}^n + C_{ii}^n t^n} \ddot{x}_i^{n-\frac{1}{2}} \\ &+ \frac{2t^n}{2m_{ii}^n + C_{ii}^n t^n} (p_i - f_i^n) \end{aligned} \quad (4)$$

$i = 1, 2, \dots, ndof$

$$x_i^{n+1} = x_i^n + t^{n+1} \ddot{x}_i^{n+\frac{1}{2}}, \quad (5)$$

$i = 1, 2, \dots, ndof$

کمینه کردن نیروی نامیزان و تغییر مکان نامیزان استفاده نمودند؛ باید آگاه بود، با بهره‌جستن از این راهکارها، تحلیل به‌جای همگرایی به نقطه‌های ایستایی دور، به نقطه‌های ایستایی نزدیک همگرا خواهد شد. تحلیل پویای سازه‌ها با استفاده از دو محور زمان متعامد حقیقی و ساختگی را سرافرازی [51] انجام داد. ماتریس‌های جرم و میرایی حقیقی و ساختگی نیز در رابطه‌سازی وی وارد می‌شدند.

پیوند نسبت گام زمانی بهینه و میرایی بحرانی در تحلیل‌های ناخطی با فن رهایی پویا، توسط رضایی پزند و سرافرازی [52] به‌دست آمد. این پژوهش آشکار کرد که مقدار گام زمانی ثابت اثری بر روی نرخ همگرایی ندارد. رضایی پزند و علامتیان [53] رابطه‌های جدیدی برای میرایی و جرم ساختگی در روش رهایی پویای بهبود یافته برقرار نمودند. شیوه آنها نشان داد که می‌توان بدون انجام کارهای عددی بیشتر نرخ همگرایی را بالا برد. افزون بر اینها، روش جدیدی برای حساب کردن میرایی ساختگی را رضایی پزند و همکاران [54] پیشنهاد دادند. برای رسیدن به این هدف، می‌توان از کمینه نمودن خطا بین دو گام پیاپی و بهره‌جستن از فرآیند تکراری بهره‌جست. برای گذر خودکار از نقطه‌های حدی، رضایی پزند و علامتیان [55] روشی را با کمینه نمودن نیروی نامیزان و کارمایه نامیزان پیشنهاد دادند.

ماتریس‌های جرم و میرایی و نیز گام زمانی ساختگی در راه حل رهایی پویا نقش دارند. با وارد کردن مقدار صفر برای میرایی و یافتن نسبت گام زمانی آن، رضایی پزند و سرافرازی [56] روش دیگری را رابطه‌سازی کردند. آنها به تحلیل پویای ناخطی سازه‌ها نیز پرداخته‌اند. افزون بر اینها، بر پایه کارمایه نامیزان، روش جدیدی به‌دست آمد [57]. رضایی پزند و همکاران [58]، کارایی دوازده روش رهایی پویا را برای تحلیل اجزای محدودی سازه‌های قابی و خرپایی بررسی کردند. آنها با مقایسه شمار و زمان کل تحلیل،

خودکار برای یافتن عامل‌های تکراری را پاپادراکاکیس [40] پیشنهاد کرد. این شیوه نیازی به آزمون و خطا و یا تحلیل مقدارهای ویژه ماتریس سفتی ندارد. مشکل راه حل وی، حدس نخستین دو عامل می‌باشد. گونه دیگر رابطه‌سازی رهایی پویا را فلیپا [41] انجام داد. این راهکار، در دسته‌بندی روش‌های ضمنی جای می‌گیرد و عامل‌های جرم و میرایی، از تغییر سفتی سازه در زمان ساختگی حساب می‌شوند. یکی از رابطه‌سازی‌های مشهور برای تکرارهای رهایی پویا را آندروود [42] انجام داد. وی میزان گام زمانی را در تکرارهای رهایی پویا ثابت پنداشت. کانگ [43] میرایی و زمان ساختگی را با استفاده از اصل ریلی به‌دست آورد. زانگ و همکاران [44] حدس نخستین پایدار را درست کردند و الگوی میرایی گرهی را پیشنهاد دادند. مونجیزا و همکاران [45, 46]، میرایی را متناسب با توانی از ماتریس‌های جرم و سفتی به‌کار گرفتند. آنها نشان دادند که هرگاه ماتریس میرایی به‌شکل  $2M(M^{-1}S)^{0.5}$  باشد، تمامی حالت‌ها به‌صورت بحرانی میرا می‌شوند [45, 46].

برای کاهش تکرارها و با هدف افزایش مرتبه خطا و به‌دنبال آن، بهبود نرخ همگرایی رهایی پویا، رضایی پزند و تقویان حکاک [47] از گسترش دنباله تیلور بهره‌جستند. آنها از سه جمله نخست دنباله تیلور، جابه‌جایی را حساب کردند. این پژوهشگران، مقدار گام زمانی در تکرارهای رهایی پویا را ثابت پنداشتند. بر پایه کمینه‌سازی نیروهای نامیزان در تکرارهای رهایی پویا، بهبود گام زمانی ساختگی به‌وسیله کدخدایان و همکاران [48] رابطه‌سازی شد. روش رهایی پویا برای تحلیل پویای ناخطی را رضایی پزند و علامتیان [49] به‌کار گرفتند. آنها این راه حل را با گام زمانی بهبود یافته به‌کار بردند. در این روش، خطاهای تابع اولیه گیری را کاهش می‌دادند. رضایی پزند و علامتیان [50]، در پیمایش ناحیه‌های بازگشتی، برای یافتن ضریب بار در هر تکرار رهایی پویا، از دو فرآیند

پنج روش برتر را معرفی نمودند.

آن‌گونه که آمد، عامل‌های ناشناخته در رابطه‌سازی‌های روش‌های پویا، ماتریس‌های قطری جرم و میرایی ساختگی، بردار تغییرمکان نخستین و گام زمانی ساختگی می‌باشند. به‌طور معمول، بردار جابه‌جایی آغازین را صفر یا یک و گام زمانی ساختگی را برابر یک می‌پندارند. یکی دیگر از پژوهش‌ها، گام زمانی را برپایه اصل ریلی پیشنهاد می‌کند [43]. برترین راهکار برای یافتن ماتریس جرم ساختگی، استفاده از نگره دایره گرشگورین است [39, 42]. روش خودکار دیگر که نیاز به وارد شدن کاربر ندارد، شیوه پیشنهادی رضایی پزند و علامتین [53] می‌باشد. متداول‌ترین راهکار پیدا کردن عامل میرایی، استفاده از اصل ریلی است [44, 38]. از میان معمولی‌ترین آنها، می‌توان از رابطه‌های زانگ و آندروود نام برد [27, 42]. روشی با نرخ همگرایی بیشتر را رضایی پزند و همکاران پیشنهاد داده‌اند [52-54].

در ادامه مقاله، ویژگی‌های راه حل‌های پویا می‌آید. در این شیوه، نیروهای داخلی هر یک از جزءها، از ضرب تغییرمکان‌های گرهی در ماتریس سفتی جزء حساب می‌گردند. روی هم‌گذاری نیروی داخلی همه جزءها، بردار نیروی داخلی کل را در دسترس قرار می‌دهد. نیروهای نامیزان، اختلاف بین نیروهای داخلی و بارهای خارجی هستند. از این‌رو، فن‌های پویا به روی هم‌گذاری و انبار کردن ماتریس سفتی کل سازه نیازی ندارد. بنابراین، برای حل مسئله‌های با رفتار ناخطی شدید ماده و هندسه مناسب است. نیاز نداشتن به برپاسازی ماتریس سفتی کل، سبب سادگی برنامه‌نویسی این روش می‌شود [59]. استفاده از عملگرهای برداری به‌جای حساب‌های پیچیده ماتریسی، نیاز به انبار رایانه را کاهش می‌دهد. چون روش‌های پویا به‌طور کامل خودکار است؛ بنابراین، وارد شدن کاربر در کارایی تحلیل تأثیری ندارد. این فرآیند خطاهای گرد کردن عددها را از بین

می‌برد و می‌توان پاسخ‌ها را با دقت دلخواه به‌دست آورد [51]. دیگر شایستگی این فن، حساس نبودن به نقطه‌های حدی در مسیر ایستایی می‌باشد [59]. هنوز راه حل کاملی برای حل معادله‌های ناخطی سازه‌ها در دسترس نمی‌باشد. فن‌های پویا هم کاستی‌هایی دارد. پاره‌ای از کاستی‌های این شیوه در ادامه می‌آیند. فرآیند در حالت کلی پایدار نیست؛ با وجود این، می‌توان با وارد نمودن شرط‌هایی پایداری آن را برقرار نمود. نرخ همگرایی این روش اندک است. انتخاب عامل‌های مناسب، نرخ همگرایی را افزایش می‌دهد [59]. تکرارهای پویا در بار ثابت صورت می‌پذیرد که مشکل‌هایی را در نقطه‌های حدی به‌وجود می‌آورد. در تحلیل ناخطی با نرم‌شوندگی ملایم، شمار تکرارهای راه حل‌های پویا در مقایسه با روش‌های نیوتنی بسیار بیشتر است [47]. باید دانست، روش‌های پویا دو دسته کلی لژی و جنبشی دارد. رابطه‌های روش‌های پویای لژی پیش از این آمدند. در ادامه کار، به فن جنبشی پرداخته خواهد شد. در روش جنبشی، دستگاه پویای ساختگی بدون میرایی می‌باشد. بر این پایه می‌توان رابطه‌های تکراری‌های پویای جنبشی را به‌صورت زیر به‌دست آورد:

$$\dot{X}_i^{n+\frac{1}{2}} = \dot{X}_i^{n-\frac{1}{2}} + \frac{t^n}{m_{ii}^n} (p_i - f_i^n) \quad , \quad i = 1, 2, \dots, \text{ndof} \quad (6)$$

$$X_i^{n+1} = X_i^n + t^{n+1} \dot{X}_i^{n+\frac{1}{2}} \quad , \quad i = 1, 2, \dots, \text{ndof} \quad (7)$$

باید آگاه بود، گام زمانی ساختگی را در تکرارهای روش‌های پویای جنبشی برابر یک می‌پندارند. به کار

دستگاه ایستا با افزودن جرم و میرایی ساختگی به دستگاه پویا تبدیل می‌گردد. به سخن دیگر، با گذاردن جمله‌های وابسته به جرم و میرایی در سوی دیگر معادله‌های دیفرانسیل ایستایی سازه، رابطه زیر به دست می‌آید:

$$EQ_i = m_\alpha \frac{\partial^2 \alpha}{\partial t^2} + c_\alpha \frac{\partial \alpha}{\partial t} \quad (9)$$

در این برابری،  $EQ_i$  معادله دیفرانسیل ایستایی صفحه در راستای  $\alpha$  است. با قرار دادن  $EQ_i$  در (9)، ساده‌سازی آن و استفاده از  $C_\alpha^* = \frac{c_\alpha t^a}{2m_\alpha}$ ، سرعت در پایان گام زمانی به قرار زیر خواهد بود:

$$\left(\frac{\partial \alpha}{\partial t}\right)^a = \frac{1}{1+C_\alpha^*} \left[ \left(1-C_\alpha^*\right) \left(\frac{\partial \alpha}{\partial t}\right)^b + \frac{t^a}{m_\alpha} (EQ_i) \right] \quad (10)$$

خیز و تغییر مکان‌های درون صفحه‌ای در پایان گام زمانی، با استفاده از رابطه‌های حرکت جسم‌ها به دست می‌آید. این مقادارها در زیر می‌آیند:

$$x = Vt + x_0 \quad \rightarrow \quad \alpha^a = \alpha^b + t^a \left(\frac{\partial \alpha}{\partial t}\right)^b \quad (11)$$

در ادامه‌ی کار، تفاوت‌های محدود مرکزی برای یافتن مشتق لنگرها و خیز سازه به کار می‌رود. همچنین، مشتق تغییر مکان‌های درون صفحه‌ای از تفاوت‌های پس‌رو، و مشتق نیروهای درون صفحه‌ای از تفاوت‌های پیش‌رو به دست می‌آیند. باید دانست که رابطه (10) نیز باید به شکل تفاوت محدود بازنویسی گردد. در پایان، تغییر مکان‌های گره ( $\bar{u}_i$ ) با استفاده از (12) در دست

بردن میرایی جنبشی به جای لزج، رابطه‌سازی رهایی پویا را ساده‌تر می‌کند. به سخن دیگر، تنها به یک کران بالا برای مقدار ویژه پیشینه نیاز است [40]. از میان دیگر برتری‌های این کار بر فن‌های پیشین، پایداری و همگرایی بالا در تحلیل‌های ناخطی هندسی می‌باشد [60]. با وجود این، نرخ همگرایی روش رهایی پویای جنبشی، از گونه لزج کمتر است [40]. نخستین بار، کاندال [61] از روش رهایی پویای جنبشی برای تحلیل مسئله‌های مکانیک سنگ ناپایدار بهره‌جست.

### رهایی پویا و صفحه‌های خمشی راست پهلوی

در این بخش، رابطه‌های تفاوت محدود رهایی پویا برای حل صفحه‌های خمشی راست پهلوی با رفتار ناخطی هندسی می‌آید. در این فرآیند باید از معادله‌های دیفرانسیل ایستایی، رابطه‌های کرنش-تغییر مکان، انحنا-تغییر مکان و نیز برابری نیروهای داخلی بهره‌جست. خاطر نشان می‌شود، برخلاف تغییر شکل‌های کوچک، در نگره تغییر شکل‌های بزرگ، میان صفحه دارای کرنش خواهد بود. ساختار صفحه همسانگرد پنداشته می‌شود. در فن رهایی پویا، در گام زمانی  $t$ ، تغییر سرعت را خطی و شتاب را ثابت می‌پندارند؛ آن‌گاه می‌توان برابری (8) را نوشت:

$$\frac{\partial \alpha}{\partial t} = \frac{1}{2} \left[ \left(\frac{\partial \alpha}{\partial t}\right)^a + \left(\frac{\partial \alpha}{\partial t}\right)^b \right], \quad (8)$$

$$\frac{\partial^2 \alpha}{\partial t^2} = \frac{1}{t} \left[ \left(\frac{\partial \alpha}{\partial t}\right)^a - \left(\frac{\partial \alpha}{\partial t}\right)^b \right]$$

نماد  $a$  و  $b$ ، به ترتیب، مقدار پایان و آغاز گام زمانی را نشان می‌دهند. عامل  $\alpha$  می‌تواند  $u$ ،  $v$  و  $w$ ، که به ترتیب، جابه‌جایی در راستای  $x$ ،  $y$  و  $z$  می‌باشد را اختیار کند. باید دانست،  $u$  و  $v$ ، تغییر مکان‌های درون صفحه‌ای می‌باشند. تغییر مکان جانبی یا همان خیز صفحه با  $w$  نشان داده می‌شود. در راهکار رهایی پویا،

$$M_{x_{i,j}} = -D \left( \frac{w_{i+1,j} - 2w_{i,j} + w_{i-1,j}}{(\Delta x)^2} + \nu \frac{w_{i,j+1} - 2w_{i,j} + w_{i,j-1}}{(\Delta y)^2} \right)$$

خواهند بود:

$$\alpha_{i,j}^a = \alpha_{i,j}^b + t^a \left( \frac{\partial \alpha}{\partial t} \right)_{i,j}^b \quad (12)$$

### پایداری رهایی پویا

پایداری روش تکراری رهایی پویا به تخمین مناسب جرم و میرایی ساختگی وابسته است. در این پژوهش، جرم ساختگی از روش کسل و هُبس [39] به دست می‌آید. آنها گام زمانی را برابر با یک پنداشتند.

$$m_{\alpha_{i,i}} = \frac{(t^a)^2}{4} \sum_{j=1}^k |S_{ij}|_{\alpha} \quad (13)$$

در برابری کنونی، شمار گره‌ها با  $k$  نشان داده شده‌اند. این رابطه آشکار می‌کند که مقدار جرم ساختگی هر گره در هر تکرار ( $m_{\alpha}$ )، با استفاده از حاصل جمع ردیفی قدر مطلق داریه‌های ماتریس سختی به دست می‌آید. برای یافتن آن، نیروهای داخلی به شکل تفاوتی و بر پایه جابه‌جایی‌ها بازنویسی می‌گردند:

$$\left. \begin{aligned} M_{x_{i,j}} &= -D \left( \frac{w_{i+1,j} - 2w_{i,j} + w_{i-1,j}}{(\Delta x)^2} + \nu \frac{w_{i,j+1} - 2w_{i,j} + w_{i,j-1}}{(\Delta y)^2} \right) \\ M_{y_{i,j}} &= -D \left( \frac{w_{i,j+1} - 2w_{i,j} + w_{i,j-1}}{(\Delta y)^2} + \nu \frac{w_{i+1,j} - 2w_{i,j} + w_{i-1,j}}{(\Delta x)^2} \right) \\ M_{xy_{i,j}} &= -D(1-\nu) \left( \frac{w_{i-1,j+1} - w_{i,j+1} - w_{i+1,j+1} + w_{i+1,j-1}}{4\Delta x \Delta y} \right) \end{aligned} \right\} \quad (14)$$

حاصل جمع ردیفی قدر مطلق درایه‌های ماتریس سختی را می‌توان مجموع یک مقدار ثابت، که در سراسر تحلیل ثابت می‌ماند و یک مقدار متغیر پنداشت، که باید در هر تکرار به دست آید. بر این پایه، برابری زیر برقرار خواهد بود:

$$\sum_{j=1}^k |S_{ij}|_{\alpha} = \sum_{j=1}^k |S_{ij}|_{\alpha}^c + \sum_{j=1}^k |S_{ij}|_{\alpha}^v \quad (15)$$

رونویس‌های  $c$  و  $v$ ، به ترتیب، بخش‌های ثابت و متغیر حاصل جمع را نشان می‌دهد. یادآوری می‌کند،  $\alpha$  می‌تواند هر یک از مقدارهای  $u$ ،  $v$  و  $w$  را اختیار نماید. هر یک از بخش‌های برابری کنونی با بهره‌جویی از معادله‌های دیفرانسیل ایستایی صفحه به دست می‌آید. به سخن دیگر، با استفاده از معادله‌های دیفرانسیل ایستایی درون‌صفحه‌ای، می‌توان به برابری‌های (۱۶) رسید:

$$\left. \begin{aligned} N_{x_{i,j}} &= A \left\{ \left[ \frac{u_{i,j} - u_{i-1,j}}{\Delta x} + \frac{1}{2} \left( \frac{w_{i+1,j} - w_{i-1,j}}{2\Delta x} \right)^2 \right] + \nu \left[ \frac{v_{i,j} - v_{i,j-1}}{\Delta y} + \frac{1}{2} \left( \frac{w_{i,j+1} - w_{i,j-1}}{2\Delta y} \right)^2 \right] \right\} \\ N_{y_{i,j}} &= A \left\{ \left[ \frac{v_{i,j} - v_{i,j-1}}{\Delta y} + \frac{1}{2} \left( \frac{w_{i,j+1} - w_{i,j-1}}{2\Delta y} \right)^2 \right] + \nu \left[ \frac{u_{i,j} - u_{i-1,j}}{\Delta x} + \frac{1}{2} \left( \frac{w_{i+1,j} - w_{i-1,j}}{2\Delta x} \right)^2 \right] \right\} \\ N_{xy_{i,j}} &= \frac{A}{2} (1-\nu) \left\{ \frac{u_{i,j} - u_{i,j-1}}{\Delta y} + \frac{v_{i,j} - v_{i-1,j}}{\Delta x} + \frac{(w_{i,j+1} - w_{i,j-1})(w_{i+1,j} - w_{i-1,j})}{4\Delta x \Delta y} \right\} \end{aligned} \right.$$



اکنون، عامل‌های  $\bar{M}$  و  $\bar{N}$  باید تعریف شوند. با استفاده از نیروهای داخلی (۱۴) و قدر مطلق ضریب‌های تغییر مکان، برابری‌های زیر برای یافتن این دو عامل به کار می‌روند:

$$\left\{ \begin{aligned} \bar{N}_{x_{i,j}}^c &= A \left[ \frac{1+|-1|}{\Delta x} + \nu \left( \frac{1+|-1|}{\Delta y} \right) \right] = 2A \left( \frac{1}{\Delta x} + \frac{\nu}{\Delta y} \right) \\ \bar{N}_{xy_{i,j}}^c &= \frac{A}{2} (1-\nu) \left[ \frac{1+|-1|}{\Delta x} + \frac{1+|-1|}{\Delta y} \right] = A(1-\nu) \left( \frac{1}{\Delta x} + \frac{1}{\Delta y} \right) \\ \bar{N}_{y_{i,j}}^c &= A \left[ \frac{1+|-1|}{\Delta y} + \nu \left( \frac{1+|-1|}{\Delta x} \right) \right] = 2A \left( \frac{1}{\Delta y} + \frac{\nu}{\Delta x} \right) \\ \bar{N}_{x_{i,j}}^v &= \frac{A}{2} \left[ \frac{|w_{i+1,j} - w_{i-1,j}|}{(\Delta x)^2} + \nu \frac{|w_{i,j+1} - w_{i,j-1}|}{(\Delta y)^2} \right] \\ \bar{N}_{xy_{i,j}}^v &= \frac{A}{2} (1-\nu) \left[ \frac{2}{\Delta x} \frac{|w_{i,j+1} - w_{i,j-1}|}{2\Delta y} + \frac{2}{\Delta y} \frac{|w_{i+1,j} - w_{i-1,j}|}{2\Delta x} \right] \\ \bar{N}_{y_{i,j}}^v &= \frac{A}{2} \left[ \frac{|w_{i,j+1} - w_{i,j-1}|}{(\Delta y)^2} + \nu \frac{|w_{i+1,j} - w_{i-1,j}|}{(\Delta x)^2} \right] \\ \bar{M}_{x_{i,j}} &= |-D| \left[ \frac{1+|-2|+1}{(\Delta x)^2} + \nu \left( \frac{1+|-2|+1}{(\Delta y)^2} \right) \right] \\ &= 4D \left( \frac{1}{(\Delta x)^2} + \frac{\nu}{(\Delta y)^2} \right) \\ \bar{M}_{xy_{i,j}} &= |-D|(1-\nu) \left( \frac{1+|-1|+|-1|+1}{4\Delta x \Delta y} \right) = \frac{D(1-\nu)}{\Delta x \Delta y} \\ \bar{M}_{y_{i,j}} &= |-D| \left[ \frac{1+|-2|+1}{(\Delta y)^2} + \nu \left( \frac{1+|-2|+1}{(\Delta x)^2} \right) \right] \\ &= 4D \left( \frac{1}{(\Delta y)^2} + \frac{\nu}{(\Delta x)^2} \right) \end{aligned} \right. \quad (18)$$

آن‌گونه که آمد، می‌توان جرم را دارای دو بخش ثابت و متغیر دانست. به سخن دیگر، برابری‌های زیر برقرارند:

$$\left\{ \begin{aligned} m_{\alpha_{i,j}} &= m_{\alpha_{i,j}}^c + m_{\alpha_{i,j}}^v \\ m_{\alpha_{i,j}}^c &= \frac{(t^a)^2}{4} \sum_{j=1}^k |S_{ij}|_{\alpha}^c, \quad m_{\alpha_{i,j}}^v = \frac{(t^a)^2}{4} \sum_{j=1}^k |S_{ij}|_{\alpha}^v \end{aligned} \right. \quad (19)$$

$$\left\{ \begin{aligned} \sum_{j=1}^k |S_{ij}|_u^{\beta} &= \frac{\bar{N}_{x_{i+1,j}}^{\beta} + |\bar{N}_{x_{i,j}}^{\beta}|}{\Delta x} + \frac{\bar{N}_{xy_{i,j+1}}^{\beta} + |\bar{N}_{xy_{i,j}}^{\beta}|}{\Delta y} \\ \sum_{j=1}^k |S_{ij}|_v^{\beta} &= \frac{\bar{N}_{xy_{i+1,j}}^{\beta} + |\bar{N}_{xy_{i,j}}^{\beta}|}{\Delta x} + \frac{\bar{N}_{y_{i,j+1}}^{\beta} + |\bar{N}_{y_{i,j}}^{\beta}|}{\Delta y} \end{aligned} \right. \quad (16)$$

نماد  $\beta$  بخش‌های ثابت و متغیر را نشان می‌دهد. در گسترش جمع ردیفی برای معادله دیفرانسیل ایستایی خارج صفحه، علامت نیروهای درون صفحه‌ای در پایداری عددی نقش دارد [39]. به سخن دیگر، مقدار منفی برای این نیروها بیانگر کاهش سختی می‌باشد [22]. بنابراین، بخش‌های ثابت و متغیر حاصل جمع برای این راستا، با توجه به رابطه‌های زیر و از برابری (۱۶) به دست می‌آید:

$$\left\{ \begin{aligned} \sum_{j=1}^n |S_{ij}|_w^{cx} &= \frac{\bar{M}_{x_{i+1,j}} + 2\bar{M}_{x_{i,j}} + \bar{M}_{x_{i-1,j}}}{(\Delta x)^2} \\ \sum_{j=1}^n |S_{ij}|_w^{cxy} &= \frac{\bar{M}_{xy_{i-1,j-1}} + \bar{M}_{xy_{i-1,j+1}} + \bar{M}_{xy_{i+1,j-1}} + \bar{M}_{xy_{i+1,j+1}}}{2\Delta x \Delta y} \\ \sum_{j=1}^n |S_{ij}|_w^{cy} &= \frac{\bar{M}_{y_{i,j+1}} + 2\bar{M}_{y_{i,j}} + \bar{M}_{y_{i,j-1}}}{(\Delta y)^2} \\ \sum_{j=1}^n |S_{ij}|_w^{vx} &= \left( \bar{N}_{x_{i,j}}^c + \bar{N}_{x_{i,j}}^v \right) \frac{|w_{i+1,j} - 2w_{i,j} + w_{i-1,j}|}{(\Delta x)^2} \\ &+ N_{x_{i,j}} \frac{4}{(\Delta x)^2} = \left( \bar{N}_{x_{i,j}}^c + \bar{N}_{x_{i,j}}^v \right) |k_{x_{i,j}}| + N_{x_{i,j}} \frac{4}{(\Delta x)^2} \\ \sum_{j=1}^n |S_{ij}|_w^{vxy} &= \left( \bar{N}_{xy_{i,j}}^c + \bar{N}_{xy_{i,j}}^v \right) |k_{xy_{i,j}}| + N_{xy_{i,j}} \frac{1}{\Delta x \Delta y} \\ \sum_{j=1}^n |S_{ij}|_w^{vy} &= \left( \bar{N}_{y_{i,j}}^c + \bar{N}_{y_{i,j}}^v \right) |k_{y_{i,j}}| + N_{y_{i,j}} \frac{4}{(\Delta y)^2} \\ \sum_{j=1}^n |S_{ij}|_w^c &= \sum_{j=1}^n |S_{ij}|_w^{cx} + \sum_{j=1}^n |S_{ij}|_w^{cxy} + \sum_{j=1}^n |S_{ij}|_w^{cy} \\ \sum_{j=1}^n |S_{ij}|_w^v &= \sum_{j=1}^n |S_{ij}|_w^{vx} + \sum_{j=1}^n |S_{ij}|_w^{vxy} + \sum_{j=1}^n |S_{ij}|_w^{vy} \end{aligned} \right. \quad (17)$$

۱۰- اگر ۹ برقرار بود، پاسخها به دست آمده‌اند.  
۱۱- در صورت برقرار نبودن ۹، گام‌های ۲ تا ۱۰ تکرار خواهند شد.

### شرط‌های مرزی

برای برقراری معادله‌های ایستایی در یکایک گره‌های شبکه، نیاز به وارد کردن شرط‌های مرزی می‌باشد. به سخن دیگر، برای تحلیل هر سازه، افزون بر معادله‌های ایستایی، می‌باید رابطه‌های سازگاری را نیز برقرار کرد. معادله‌های سازگاری از شرط‌های مرزی به دست می‌آیند و می‌توان آنها را بر پایه نیروها یا تغییر مکان‌ها نوشت. در حالت کلی، رابطه‌های سازگاری دو بخش دارند. آن‌ها شرط‌های مرزی تغییر مکانی و معادله‌های سازگاری نیرویی هستند. در ادامه، هر یک از این دو دسته بررسی می‌شود.

چنانچه گره‌هایی از سازه دارای تغییر مکان‌های مشخص باشند، معادله‌های ایستایی وابسته به آنها را در سامانه کلی نادیده می‌گیرند. به سخن دیگر، نیازی به نوشتن رابطه‌های پویا در گره‌های دارای تغییر مکان معلوم نیست. در حالت ویژه، می‌توان به تکیه‌گاه‌های ساده و گیردار اشاره نمود. بنابراین، رابطه‌های ایستایی در این گره‌ها نوشته نمی‌شود. با این روش می‌توان اثر نشست تکیه‌گاهی را وارد کرد. نشست این نقطه‌ها برای یافتن مشتق‌های تغییر مکان گره‌های همسایه وارد می‌گردند و نیازی به برقراری رابطه‌های ایستایی در خود گره نمی‌باشد. نیروهای واکنشی این نقطه‌ها نیز به سادگی و با در نظر گرفتن تغییر مکان گره محاسبه می‌شوند. باید افزود، پنداشت تغییر شکل‌های بزرگ یا کوچک، اثری در چگونگی وارد کردن شرط‌های سازگاری تغییر مکان‌ها ندارند.

الگوسازی رفتار پاره‌ای از شرط‌های مرزی، توسط نیروها انجام می‌گیرد. چنانچه در بخشی از سازه مقدار یک یا چند نیرو مشخص باشد، باید اثر این نیروها در رابطه‌های ایستایی وارد شوند. این نیروهای مشخص،

نماد  $k$  شمار گره‌های شبکه‌بندی تفاوت محدود را نشان می‌دهد. میرایی ساختگی، که سبب همگرایی تکرارها می‌شود، از کمینه مقدار جرم ساختگی در هر گره به دست می‌آید.

$$c_{\alpha_{i,j}} = m_{\alpha_{i,j}} (F)^{-1} \quad (20)$$

پیشینیان، مقدار  $F$  را برای تغییر شکل‌های کوچک بین ۱۰ تا ۲۰، برای تغییر شکل‌های نه چندان بزرگ از ۱ تا ۳ و برای تغییر شکل‌های خیلی بزرگ بین ۰/۵ و ۱ اختیار نموده‌اند. در این پژوهش، مقداری برای  $F$  در تغییر شکل‌های بزرگ به گونه‌ای به دست می‌آید که همگرایی را برقرار کند. برای رسیدن به این هدف، اگر رابطه (۱۸) در  $C^*$  قرار گیرد، میرایی ثابت  $1/F$  به دست می‌آید. روش دیگری که این پژوهش به کار می‌گیرد، از برابری (۱۹) برای تعیین میرایی گرهی استفاده می‌نماید.

$$C_{\alpha_{i,j}}^* = \frac{m_{\alpha_{i,j}}^c (F)^{-1} t^a}{2m_{\alpha_{i,j}}} \quad (21)$$

گام‌های روش پیشنهادی به قرار زیراند:

- ۱- برقرار نمودن شرط‌های نخستین.
- ۲- به دست آوردن جرم و میرایی ساختگی برای هر گره از رابطه‌های (۱۷) و (۱۸) یا (۱۹).
- ۳- سرعت‌های هر گره، از رابطه (۱۰) به دست می‌آید.
- ۴- با استفاده از برابری (۱۲)، تغییر مکان‌ها محاسبه می‌گردند.
- ۵- شرط‌های مرزی تغییر مکان برقرار می‌شوند.
- ۶- کرنش‌ها و انحناها در دسترس قرار می‌گیرند.
- ۷- نیروهای داخلی به دست می‌آیند.
- ۸- شرط‌های مرزی نیرویی برقرار می‌شوند.
- ۹- شرط همگرایی بررسی می‌گردند.

## عامل F

این بخش، به اثر عامل F در تحلیل صفحه‌ها می‌پردازد. مسئله‌های نمونه از منبع [13] برداشت شده‌اند. عامل F از ۰/۱ تا ۳ و با نمو ۰/۱ اختیار خواهد شد. میرایی متغیر در تحلیل‌ها به کار رفته است. باید اشاره گردد که کاربرد میرایی ثابت نیز تفاوتی در نتیجه‌ها ایجاد نمی‌کند. معیار همگرایی به کار رفته، خطای سرعت می‌باشد؛ چنانچه سرعت در هر سه راستای x، y و z کوچک‌تر از مقدار خطای مجاز  $10^{-5}$  گردد فرآیند تکرارهای رهایی پویا پایان می‌یابد. بارها در یک نمو وارد شده‌اند. برای برقرار نمودن شرط‌های مرزی نیرویی، الگوسازی دوم به کار می‌رود. شبکه‌بندی ریز یا درشت، در همگرایی یا واگرایی پاسخ‌ها با مقدار F ثابت اثر دارد. در تمام نمونه‌ها، به جای بار از نسبت  $qa^4/Dh$  استفاده می‌شود. عامل q شدت بار جانبی وارد به سازه است. در همه نمونه‌ها، ضریب کشسانی (E)، نسبت پواسون، سفتی خمشی (D)، و ضخامت صفحه (h)، به ترتیب، ۱۰۹،۲ گیگاپاسکال، ۰/۳، ۱۰<sup>۴</sup> نیوتن-متر و ۱ سانتی‌متر اختیار می‌گردند.

**صفحه مربعی با تکیه‌گاه‌های ساده.** نخست، به صفحه‌ای مربعی که از چهار سو، بر روی تکیه‌گاه ساده قرار دارد، پرداخته می‌شود. این سازه، زیر هفت بار گسترده یکنواخت جانبی تحلیل می‌گردد. نسبت  $qa^4/Dh$  از ۹۰۰۰ تا  $۳/۲ \times ۱۰^۶$  گزیده می‌شود. اندازه پهلوه‌های صفحه (a) برابر ۴ متر می‌باشد. خیز بیشینه بر پایه نسبت خیز به ضخامت (w/h) می‌آید. برای تحلیل این سازه، شبکه‌بندی ۸×۸ به کار رفته است. جدول (۱) مقدارهای دقیق خیز بیشینه را نشان می‌دهد. نتایج تحلیل ناخطی، با مرجع [13] و تحلیل خطی، با مرجع [1] هماهنگی دارد.

شکل (۱)، شمار تکرارهای لازم برای رسیدن به همگرایی لازم را نشان می‌دهد. آشکار است، برای

شرط‌های سازگاری نیرویی نام دارند. راهکار کلی و دقیق برقراری شرط‌های سازگاری نیرویی در فن تفاوت‌های محدود، انجام فرآیند حل در دو مرحله می‌باشد. در آغاز بدون وارد کردن شرط‌های سازگاری نیرویی، مسئله حل می‌شود. دومین گام، به برقراری شرط‌های سازگاری نیرویی باز می‌گردد. از این‌رو، فرآیند حل در این مسئله، تنها در مرزها و تکیه‌گاه‌ها انجام می‌پذیرد. در این مرحله، تغییر مکان‌های ساختگی خارج از مرز به گونه‌ای تعیین می‌شوند که نیروهای مرزی، شرط‌های سازگاری را برقرار کنند. چنانچه پنداشت تغییر شکل‌های کوچک به کار رود، دستگاه معادله‌های گام دوم حل، خطی می‌گردد. از سوی دیگر، رفتار تغییر شکل‌های بزرگ، به دستگاه ناخطی منجر می‌شود.

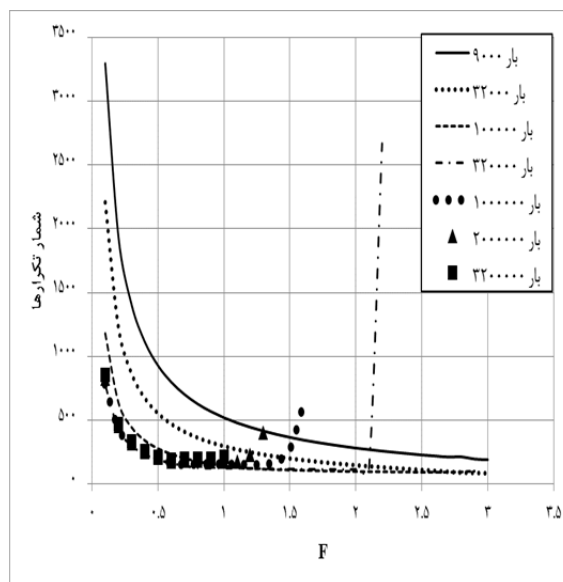
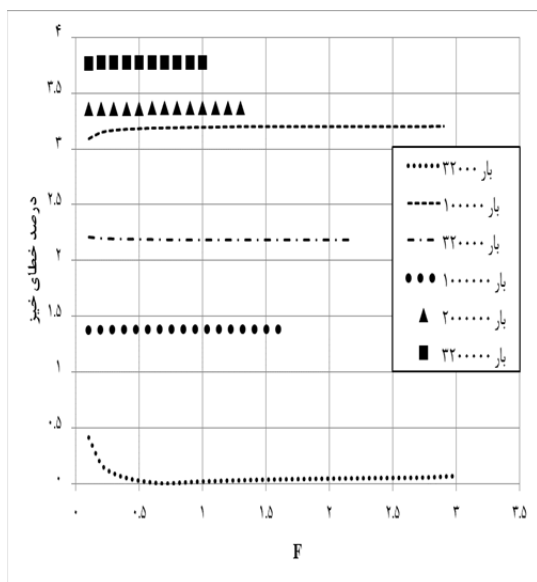
دو روش برای برقراری شرط‌های سازگاری نیرویی وجود دارد. در نخستین راه حل، می‌توان نیروهای مرزی معلوم را به صورت سراسر در رابطه‌های ایستایی گره مزبور یا گره‌های همسایه وارد کرد. به سخن دیگر، در هر مرحله از فرآیند حل، بدون توجه به نیروهای به دست آمده از تحلیل تغییر مکانی، مقدارهای معلوم جایگزین می‌گردند. باید دانست، استفاده از چنین راه‌کاری نرخ همگرایی به پاسخ را کاهش می‌دهد و در پاره‌ای از موردها ناپایداری تحلیل را سبب می‌گردد. در فرآیند تفاوت‌های محدود، معادله‌های ایستایی بر پایه عامل‌های ناشناخته تغییر مکانی نوشته می‌شوند. از این‌رو، تمامی شرط‌های مرزی نیز باید بر این پایه وارد گردند. چنانچه رفتار صفحه بدون اندرکنش‌های کششی، برشی، خمشی یا پیچشی باشد، می‌توان شرط‌های مرزی را نیز به شکل نیرو وارد کرد. راهکار دیگر برای برقراری شرط‌های سازگاری نیرویی، تبدیل آنها به رابطه‌های هم‌ارز تغییر مکانی می‌باشد. این فن، با توجه به پنداشت‌های تحلیل، به معادله‌های متفاوتی منجر می‌گردد.

یک بیشتر گردد، همگرایی به دست نمی آید. برای حل این مشکل دو راه وجود دارد. نخست می توان شبکه بندی تفاوت محدود را ریزتر نمود؛ گزینه دیگر، وارد کردن بار در نواحی کوچک تر است. شکل (۱) نمودار درصد خطا را برای  $F$ ها و بارهای مختلف نشان می دهد. روشن است، تغییر در عامل  $F$  اثر چندانی بر درصد خطا ندارد. در نتیجه، برای به دست آوردن  $F$  مناسبی که همگرایی در هر باری را برقرار نماید، بررسی شمار تکرارها کافی خواهد بود.

بارهای کم و تغییر شکل های کوچک، افزایش  $F$ ، شمار تکرارها را کاهش می دهد. در بارهای زیاد یا تغییر شکل های بزرگ، افزایش  $F$ ، نخست موجب کاهش تکرارها تا رسیدن به یک مقدار کمینه می شود؛ سپس، با افزایش  $F$ ، شمار تکرارهای همگرایی، کم و بیش ثابت می ماند. در ادامه، افزایش این عامل افزایش تکرارهای لازم را به دنبال دارد. برای بارهای زیاد که در یک نمو وارد گشته اند، چنانچه  $F$  از مقداری بیشتر شود همگرایی مورد نیاز به دست نمی آید و پاسخها واگرا می شوند. برای نمونه، در بار ۳۲۰۰۰ اگر مقدار  $F$  از

جدول ۱ خیز بیشینه صفحه مربعی با تکیه گاه های ساده

$qa^4/Dh$	۹۰۰۰	۳۲۰۰۰	۱۰۰۰۰۰	۳۲۰۰۰۰	۱۰۰۰۰۰۰	۲۰۰۰۰۰۰	۳۲۰۰۰۰۰
تحلیل ناخطی ( $w/h$ )	۰/۲۹	۰/۷۴	۱/۲	۱/۸۷	۲/۸۷	۳/۷	۴/۳۵
تحلیل خطی ( $w/h$ )	۰/۳۶۵۴	۱/۲۹۹۲	۴/۰۶	۱۲/۹۹۲	۴۰/۶	۸۱/۲	۱۲۹/۹۲



شکل ۱ شمار تکرارها و درصد خطای صفحه مربعی با تکیه گاه های ساده

رابطه های محاسبه کرنش در زیر نوشته شده اند.

در ادامه، به چگونگی برآورد تنش پرداخته می شود.

پخش تنش در راستای ضخامت سازه و در جدول (۲) درج می‌شود. این جدول برای نسبت بار  $2 \times 10^6$  و در مرکز ورق بر پا شده است. بر پایه نتیجه‌های تحلیل تنش در راستای ضخامت سازه دارای تقارن نمی‌باشد. این رفتار، به سبب در نظر گرفتن تغییر شکل‌های بزرگ می‌باشد. خاطر نشان می‌کند، این نتیجه‌ها با مرجع [13] یکسان است.

**صفحه مربعی با تکیه‌گاه‌های گیردار.** این سازه زیر اثر پنج گونه بارگسترده یکنواخت جانبی تحلیل می‌گردد. اندازه پهلوه‌های سازه (a) نیز برابر ۴ متر است. شبکه‌بندی  $8 \times 8$  به کار می‌رود. آشکار می‌باشد که خیز بیشینه در مرکز صفحه رخ می‌دهد. نسبت خیز بیشینه به ضخامت ( $w/h$ ) در جدول (۳) می‌آید. نتایج تحلیل ناخطی، با مرجع [13] و تحلیل خطی، با مرجع [1] هماهنگی دارد.

$$\begin{cases} \varepsilon_x = \frac{\partial u}{\partial x} + \frac{1}{2} \left( \frac{\partial w}{\partial x} \right)^2 - z \frac{\partial^2 w}{\partial x^2} \\ \varepsilon_y = \frac{\partial v}{\partial y} + \frac{1}{2} \left( \frac{\partial w}{\partial y} \right)^2 - z \frac{\partial^2 w}{\partial y^2} \\ \gamma_{xy} = \frac{\partial u}{\partial y} + \frac{\partial v}{\partial x} + \frac{\partial w}{\partial x} \frac{\partial w}{\partial y} + 2z \frac{\partial^2 w}{\partial x \partial y} \end{cases} \quad (22)$$

$$\begin{cases} \varepsilon_{x,i,j} = \frac{u_{i,j} - u_{i-1,j}}{\Delta x} + \frac{1}{2} \left( \frac{w_{i+1,j} - w_{i-1,j}}{2\Delta x} \right)^2 - z \frac{w_{i+1,j} - 2w_{i,j} + w_{i-1,j}}{(\Delta x)^2} \\ \varepsilon_{y,i,j} = \frac{v_{i,j} - v_{i,j-1}}{\Delta y} + \frac{1}{2} \left( \frac{w_{i,j+1} - w_{i,j-1}}{2\Delta y} \right)^2 - z \frac{w_{i,j+1} - 2w_{i,j} + w_{i,j-1}}{(\Delta y)^2} \\ \gamma_{xy,i,j} = \frac{u_{i,j} - u_{i,j-1}}{\Delta y} + \frac{v_{i,j} - v_{i-1,j}}{\Delta x} + \frac{(w_{i,j+1} - w_{i,j-1})(w_{i+1,j} - w_{i-1,j})}{4\Delta x \Delta y} \\ \quad + 2z \frac{w_{i-1,j-1} - w_{i-1,j+1} - w_{i+1,j-1} + w_{i+1,j+1}}{4\Delta x \Delta y} \end{cases}$$

در این جا، z فاصله از میان تار می‌باشد. سپس، بر پایه رابطه‌های هوک، تنش‌ها برآورد می‌شوند. برابری‌های (۲۳)، رابطه‌های تنش و کرنش را نشان می‌دهد.

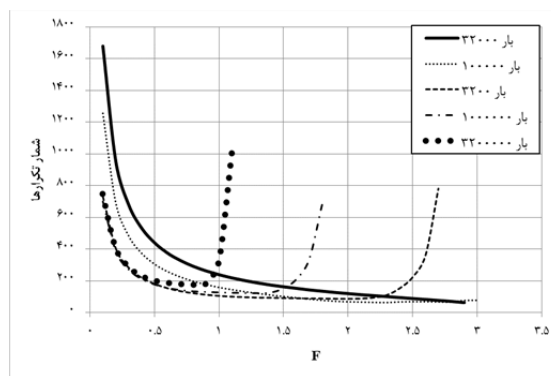
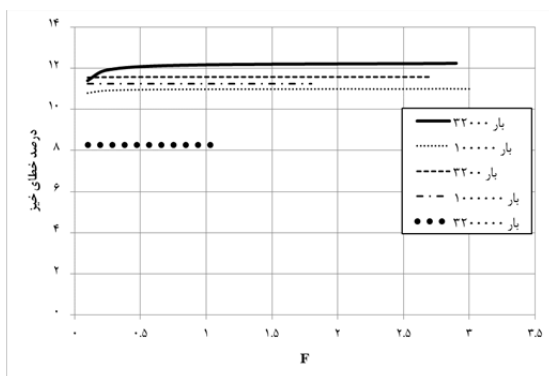
$$\begin{cases} \sigma_x = \frac{E}{1-\nu^2} (\varepsilon_x + \nu \varepsilon_y) \\ \sigma_y = \frac{E}{1-\nu^2} (\varepsilon_y + \nu \varepsilon_x) \\ \tau_{xy} = \frac{E}{2(1+\nu)} \gamma_{xy} \end{cases} \quad (23)$$

جدول ۲. پخش تنش در راستای ضخامت صفحه مربعی با تکیه‌گاه‌های ساده

فاصله از میان تار	تنش راستای x (مگاپاسکال)	تنش راستای y (مگاپاسکال)	تنش برشی (مگاپاسکال)
-۰/۵t	۱۶/۰۷۲	۱۶/۱۰۳	۰/۸۴۷
-۰/۴t	۱۸/۳۳۴	۱۸/۳۵۷	۰/۸۳۸
-۰/۳t	۲۰/۵۹۷	۲۰/۶۱	۰/۸۲۹
-۰/۲t	۲۲/۸۶۰	۲۲/۸۶۴	۰/۸۲
-۰/۱t	۲۵/۱۲۳	۲۵/۱۱۸	۰/۸۱۱
۰	۲۷/۳۸۶	۲۷/۳۷۱	۰/۸۰۲
۰/۱t	۲۹/۶۴۹	۲۹/۶۲۵	۰/۷۹۴
۰/۲t	۳۱/۹۱۱	۳۱/۸۷۹	۰/۷۸۵
۰/۳t	۳۴/۱۷۴	۳۴/۱۳۲	۰/۷۷۶
۰/۴t	۳۶/۴۳۷	۳۶/۳۸۶	۰/۷۶۷
۰/۵t	۳۸/۷	۳۸/۶۴	۰/۷۵۸

جدول ۳ خیز بیشینه صفحه مربعی با تکیه‌گاه‌های گیردار

۳۲۰۰۰۰	۱۰۰۰۰۰	۳۲۰۰۰۰	۱۰۰۰۰۰	۳۲۰۰۰۰	$qa^4/Dh$
۴/۲	۲/۶۵	۱/۶۵	۰/۹۱	۰/۳۹	تحلیل ناخطی ( $w/h$ )
۴۰/۳۲	۱۲/۶	۴/۰۳۲	۱/۲۶	۰/۴۰۳۲	تحلیل خطی ( $w/h$ )



شکل ۲ شمار تکرارها و درصد خطای صفحه مربعی با تکیه‌گاه‌های گیردار

جدول ۴ پخش تنش در راستای ضخامت صفحه مربعی با تکیه‌گاه‌های گیردار

فاصله از میان تار	تنش راستای X (مگاپاسکال)	تنش راستای Y (مگاپاسکال)	تنش برشی (مگاپاسکال)
-۰/۵t	۱۹/۳۸۵	۱۹/۴۴۱	-۰/۲۳۱
-۰/۴t	۲۲/۲۹۶	۲۲/۳۳۹	-۰/۲۶۹
-۰/۳t	۲۵/۲۰۷	۲۵/۲۳۸	-۰/۳۰۷
-۰/۲t	۲۸/۱۱۷	۲۸/۱۳۷	-۰/۳۴۵
-۰/۱t	۳۱/۰۲۸	۳۱/۰۳۶	-۰/۳۸۴
۰	۳۳/۹۳۹	۳۳/۹۳۴	-۰/۴۲۲
۰/۱t	۳۶/۸۵	۳۶/۸۳۳	-۰/۴۶
۰/۲t	۳۹/۷۶۱	۳۹/۷۳۲	-۰/۴۹۸
۰/۳t	۴۲/۶۷۲	۴۲/۶۳۱	-۰/۵۳۶
۰/۴t	۴۵/۵۸۲	۴۵/۵۲۹	-۰/۵۷۵
۰/۵t	۴۸/۴۹۳	۴۸/۴۲۸	-۰/۶۱۳

شکل (۲) شمار تکرارها برای رسیدن به پاسخ و درصد خطای هر بار را در برابر  $F$  نشان می‌دهد. چگونگی تغییر شمار تکرارها و درصد خطا همانند نمونه پیشین است. در این سازه، چنانچه  $F$  از مقداری بیشتر گردد، همگرایی به دست نمی‌آید و پاسخ‌ها واگرا می‌شوند. این مقدار، برای بارهای ۳۲۰۰، ۱۰۰۰ و ۳۲۰۰۰، به ترتیب، ۲/۷، ۱/۹ و ۱/۱ می‌باشد. نتیجه‌های نمونه نخست و دوم نشان داد که اگر نسبت خیز به ضخامت از یک تجاوز کند، با افزایش  $F$ ، پاسخ‌ها واگرا می‌شوند. همچنین، درصد خطا ثابت است و تغییر در ضریب  $F$ ، اثر چندانی بر آن ندارد. در نتیجه، یافتن یک  $F$  مناسب با بررسی شمار تکرارها انجام می‌پذیرد.

شکل (۲) شمار تکرارها برای رسیدن به پاسخ و درصد خطای هر بار را در برابر  $F$  نشان می‌دهد. چگونگی تغییر شمار تکرارها و درصد خطا همانند نمونه پیشین است. در این سازه، چنانچه  $F$  از مقداری بیشتر گردد، همگرایی به دست نمی‌آید و پاسخ‌ها واگرا می‌شوند. این مقدار، برای بارهای ۳۲۰۰، ۱۰۰۰ و ۳۲۰۰۰، به ترتیب، ۲/۷، ۱/۹ و ۱/۱ می‌باشد. نتیجه‌های نمونه نخست و دوم نشان داد که اگر نسبت خیز به ضخامت از یک تجاوز کند، با افزایش  $F$ ، پاسخ‌ها واگرا می‌شوند. همچنین، درصد خطا ثابت است و تغییر در ضریب  $F$ ، اثر چندانی بر آن ندارد. در نتیجه، یافتن یک  $F$  مناسب با بررسی شمار تکرارها انجام می‌پذیرد.

از یک تجاوز کند، با افزایش  $F$  پاسخ‌ها واگرا می‌شوند. آشکار می‌شود که هم‌چون سازه‌های پیشین، تغییر در ضریب  $F$  اثر چندانی بر درصد خطا ندارد.

**صفحه چهارپهلوی با تکیه‌گاه‌های ساده.** نمونه چهارم، همان صفحه نخست ولی با شبکه‌بندی‌های گوناگون است. این سازه، زیر اثر بار گسترده‌ای قرار دارد که نسبت  $qa^4/Dh$  آن برابر با ۳۲۰۰۰۰۰ می‌باشد. نسبت پهلوها، ۱، ۱،۲۵، ۱،۵، ۱،۷۵ و ۲ اختیار می‌شوند. اندازه پهلوی کوچک‌تر، برابر ۴ متر است. خیز بیشینه در مرکز روی می‌دهد. شبکه‌بندی‌ها به‌گونه‌ای می‌باشند که نسبت اندازه پهلوی هر شبکه به پهلوی صفحه‌ها در همان راستا، برابر با ۰/۲۵ گردد. در جدول (۶) نسبت خیز به ضخامت ( $w/h$ ) می‌آید. نتایج با مرجع [13] هماهنگی دارد.

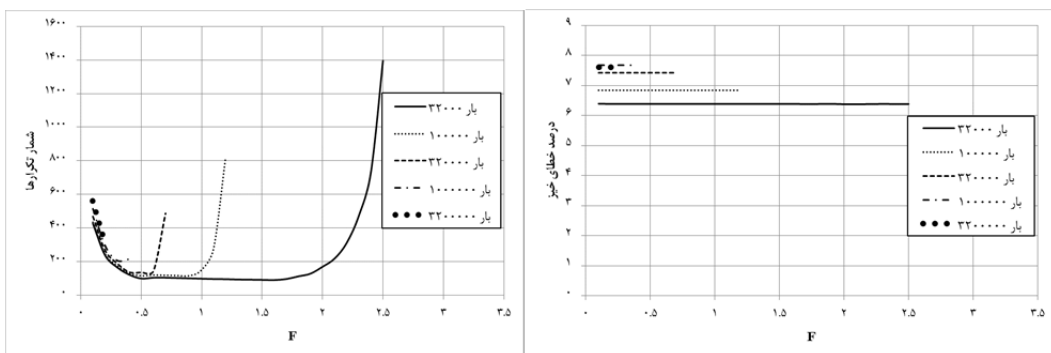
پخش تنش در راستای ضخامت سازه در جدول (۴) درج می‌شود. این جدول برای نسبت بار  $۳/۲ \times ۱۰۶$  مرکز ورق بر پا شده است. باید افزود، این نتیجه‌ها با مرجع [13] یکسان است.

**صفحه بی‌نهایت با تکیه‌گاه‌های ساده.** این سازه در جهت  $y$  بی‌نهایت است. اندازه پهلوی صفحه در جهت  $x$  برابر ۴ متر و در جهت  $y$  برابر ۵۰ متر اختیار می‌شود. شبکه‌بندی  $۴ \times ۵۰$  به کار می‌رود. نسبت خیز به ضخامت ( $w/h$ ) در جدول (۵) می‌آید. نتایج تحلیل ناخطی، با مرجع [13] و تحلیل خطی، با مرجع [1] هماهنگی دارد.

بر پایه شکل (۳)، چگونگی تغییر شمار تکرارهای رهایی پویا و درصد خطا در برابر تغییر  $F$  مانند نمونه‌های پیشین است. چنانچه نسبت خیز به ضخامت

جدول ۵ خیز مرکز صفحه بی‌نهایت با تکیه‌گاه‌های ساده

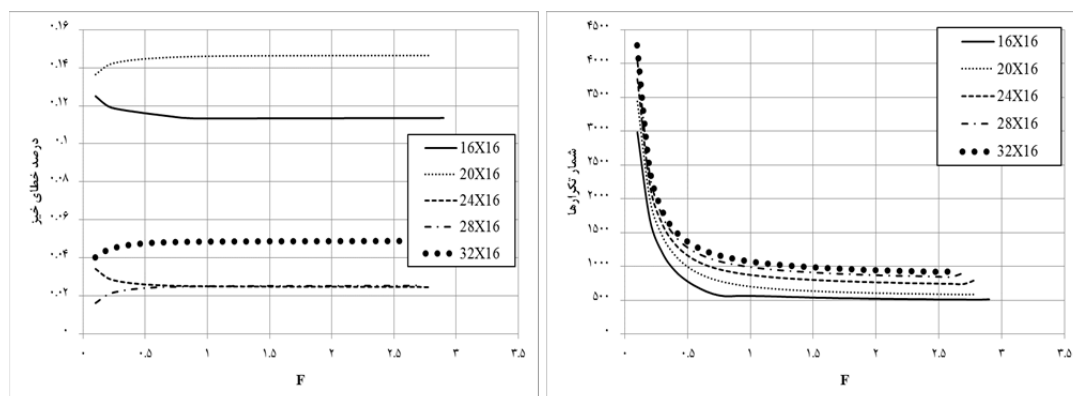
۳۲۰۰۰۰۰	۱۰۰۰۰۰۰	۳۲۰۰۰۰	۱۰۰۰۰۰	۳۲۰۰۰	$qa^4/Dh$
۵	۳/۳۸	۲/۳	۱/۵۴	۱/۰۱	تحلیل ناخطی ( $w/h$ )
۸۱/۸۱	۲۵/۵۷	۸/۱۸	۲/۵۶	۰/۸۲	تحلیل خطی ( $w/h$ )



شکل ۳ شمار تکرارها و درصد خطای صفحه بی‌نهایت با تکیه‌گاه‌های ساده

جدول ۶ خیز بیشینه صفحه چهارپهلوی و تکیه‌گاه‌های ساده

۳۲×۱۶	۲۸×۱۶	۲۴×۱۶	۲۰×۱۶	۱۶×۱۶	شبکه‌بندی
۴/۹۷۴	۴/۹۳۵	۴/۸۴	۴/۶۲۵	۴/۱۲۱	بیشینه خیز ( $w/h$ )



شکل ۴ شمار تکرارها و درصد خطای صفحه چهارپهلوی و تکیه‌گاه‌های ساده

$\lambda$  به گونه‌ای تعیین می‌شود که مقدار سفتی در لبه های  $y=0, b$ ، هشت برابر سفتی خمشی صفحه در مرکز باشد. برای نسبت  $qa^4/Dh$ ، سه مقدار ۵۰۰۰۰، ۱۰۰۰۰۰ و ۱۵۰۰۰۰۰ گزینش می‌شود. اندازه پهلویهای سازه (a)، ۴ متر می‌باشد. شبکه بندی  $16 \times 16$  به کار می‌رود. نسبت خیز به ضخامت ( $w/h$ ) در جدول (۷) می‌آید. نتایج با مرجع [13] هماهنگی دارد.

جدول ۷ خیز مرکز صفحه مربعی با سفتی متفاوت و

تکیه‌گاه‌های ساده

۱۵۰۰۰۰	۱۰۰۰۰۰	۵۰۰۰۰	$qa^4/Dh$
۱/۱۱	۰/۹	۰/۵۸	بیشینه خیز ( $w/h$ )

شکل (۵) شمار تکرارها برای رسیدن به همگرایی و درصد خطای موجود در پاسخ را برای این مسئله نشان می‌دهد. آشکار است، افزایش F شمار تکرارها را کاهش می‌دهد. تفاوت این فرآیند با نمونه‌های پیشین را می‌توان به شبکه بندی ریزتر پیوند داد. افزایش F، نخست درصد خطا را کاهش و سپس افزایش می‌دهد؛ گرچه برای مقدار F بیشتر از ۰/۵، این کاهش و افزایش ناچیز می‌باشد و می‌توان درصد خطا را کم و بیش ثابت پنداشت.

همان‌گونه که اشاره شد، یکی از گزینه‌های از بین بردن واگرایی پاسخ‌ها در مقادیر بالای F و یا بار، ریز نمودن شبکه بندی تفاوت محدود است. مقایسه شبکه بندی  $8 \times 8$  برای نسبت بار  $320000$  در شکل (۱) با شبکه بندی  $16 \times 16$  شکل (۴)، آشکار می‌سازد که با ریز نمودن شبکه بندی، با وجود مقدار زیاد برای F، همگرایی به دست می‌آید. این پژوهش ثابت نمود که اگر نسبت اندازه پهلوی یک جزء از شبکه بندی به پهلوی صفحه در آن راستا  $0,25$  باشد، همگرایی برای Fها حتی در بارهای زیاد برقرار خواهد بود. این همگرایی، در صورت استفاده از یک نمودار بارگذاری نیز وجود دارد. نتیجه‌های نمونه‌های پیشین، برای این مسئله نیز برقرار است.

#### صفحه مربعی با ضخامت متفاوت و تکیه‌گاه‌های

ساده. نمونه پنجم، دربرگیرنده صفحه ای مربعی با ضخامت متفاوت در راستای y است. حل این گونه از سازه‌ها، اثر سفتی خمشی را آشکار می‌کند. در چهار سوی ورق، تکیه‌گاه ساده قرار دارد. تغییر سفتی خمشی سازه به صورت نمایی پنداشته می‌شود. به سخن دیگر، تابع سفتی خمشی  $D = D_0 e^{\lambda y}$  به کار می‌رود. سفتی خمشی صفحه در مرکز برابر با  $D_0$  است. ضریب



**صفحه مربعی با ضخامت گوناگون و تکیه گاه های ساده-گیردار.**

این نمونه مشابه مسئله پنجم است و تنها تکیه گاه های آن تفاوت دارد. این سازه بر روی سه تکیه گاه ساده و یک تکیه گاه گیردار می باشد. مقدارهای دقیق خیز مرکز صفحه در جدول (۸) آمده است. نتیجه هایی همانند نمونه پیشین را شکل (۶) به نمایش می گذارد. نتایج با مرجع [13] هماهنگی دارد.

بر پایه تجربه های عددی، می توان بر پایه میزان خیز

در تغییر شکل های بزرگ صفحه ها، مقدارهای زیر را برای  $F$  به کار برد:

۱- در تغییر شکل های کوچک که نسبت خیز به

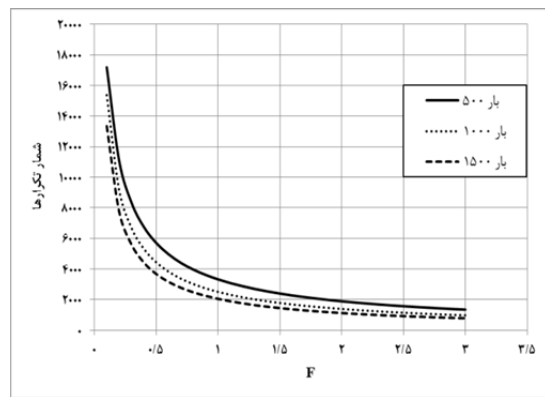
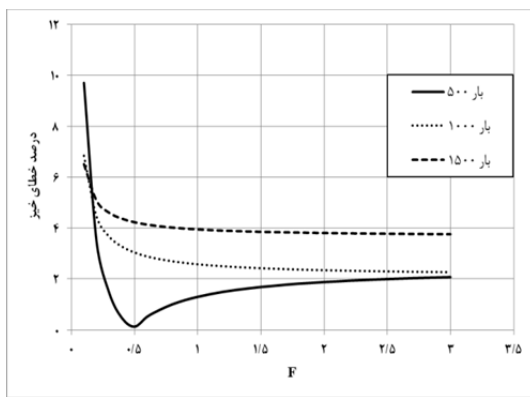
ضخامت کمتر از  $1/5$  می باشد:  $F=3$  تا  $2$

۲- در تغییر شکل های نه چندان بزرگ که نسبت خیز

به ضخامت بین  $1/5$  و  $2$  است:  $F=2$  تا  $1.5$

۳- در تغییر شکل های بزرگ که نسبت خیز به

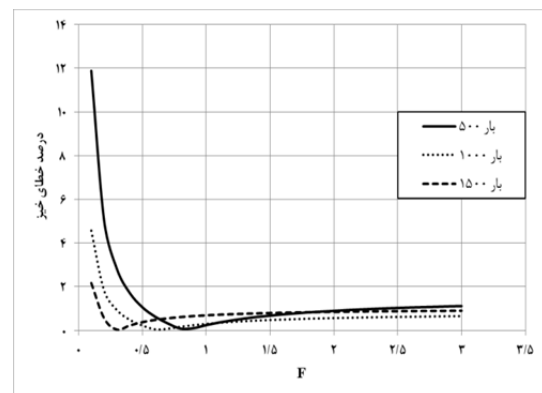
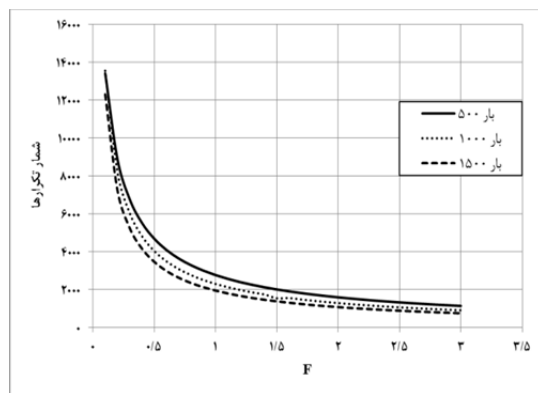
ضخامت بیشتر از  $2$  می باشد:  $F=1$  تا  $0.5$



شکل ۵ شمار تکرارها و درصد خطای صفحه مربعی با سفتی متفاوت و تکیه گاه های ساده

جدول ۸ خیز مرکز صفحه مربعی با سفتی و تکیه گاه گوناگون

$150000$	$100000$	$50000$	$qa^4/Dh$
$0.91$	$0.72$	$0.44$	پیشینه خیز ( $w/h$ )



شکل ۶ شمار تکرارها و درصد خطای صفحه مربعی با سفتی و تکیه گاه گوناگون

## میرایی ثابت و متغیر

برای مقایسه اثر میرایی ثابت و متغیر بر سرعت همگرایی، همان نمونه‌های پیشین به کار خواهد رفت. برای بررسی اثر میرایی متغیر، از خطای سرعت، کارمایه جنبشی و نسبت تغییر مکان دو گام پیایی، برای معیار همگرایی تمامی تحلیل‌ها بهره‌جویی می‌شود. برای معیار سرعت، چنانچه سرعت در هر سه راستای  $x$ ،  $y$  و  $z$  کوچک‌تر از مقدار خطای مجاز  $10^{-5}$  گردد، فرآیند تکرارهای رهایی پویا پایان می‌یابد. بر پایه نتیجه‌های بخش پیشین، مقدار  $F$  برابر  $0.75$  اختیار می‌گردد. در این مقاله، شمار تکرارهای رهایی پویا و نیز زمان کل تحلیل برای مقایسه به کار می‌روند.

نسبت  $qa^4/Dh$  از  $100000$  تا  $4000000$  تغییر می‌کند و بار در  $40$  نمو به سازه وارد خواهد شد. از پاسخ‌های نمو پیشین نیز برای سرعت بخشیدن به همگرایی استفاده می‌شود. بار و خیز در تمامی جدول‌ها و شکل‌ها، به ترتیب، نسبت  $qa^4/Dh$  و نسبت خیز به ضخامت  $(w/h)$  می‌باشند. پس از این و برای سادگی، معیار تغییر مکان به جای نسبت جابه‌جایی دو گام پیایی از تکرارها به کار می‌رود. خطای مجاز دو معیار همگرایی دیگر، با فرآیند آزمون و خطا در دسترس قرار گرفت؛ به گونه‌ای که مقدار خیز در بیشینه بار معیار مورد بررسی و معیار سرعت یکسان شود. تجربه‌های عددی آشکار نمود که درصد تفاوت مقدار خیز معیار انتخابی و معیار سرعت در سایر بارها، کمتر از  $0.1$  درصد و در بسیاری از موارد، بسیار کمتر از این مقدار بود. هم‌چنین، مقدار نیروهای داخلی نیز بسیار به یکدیگر نزدیک بودند. از معیار همگرایی تغییر مکان زیر بهره‌جویی می‌شود:

$$\left| \frac{(\alpha^{i+1})^T \alpha^{i+1} - (\alpha^i)^T \alpha^i}{(\alpha^{i+1})^T \alpha^{i+1}} \right| \leq \varepsilon, \quad i = 1, 2, \dots, \text{ndof}$$

در این رابطه، نماد  $\alpha$  جابه‌جایی در راستای  $x$ ،  $y$  و

$z$  را نشان می‌دهد. خطای مجاز برابر با  $\varepsilon$  است. یادآوری می‌کند، عامل  $\text{ndof}$  شمار درجه‌های آزادی را نشان می‌دهد. بر پایه معیار تغییر مکان، هنگامی که رابطه کنونی برای هر سه راستا و در تمام گره‌های شبکه تفاوت محدود برقرار بود، فرآیند تکرارهای رهایی پویا به سرانجام می‌رسد. از سوی دیگر، برای معیار همگرایی کارمایه جنبشی، نابرابری زیر به کار می‌رود:

$$\left[ \sum_{i=1}^k m_u (\dot{x})_u^2 + \sum_{i=1}^k m_v (\dot{x})_v^2 + \sum_{i=1}^k m_w (\dot{x})_w^2 \right] \leq \varepsilon$$

در این نابرابری، شمار گره‌ها با  $k$  و جرم و سرعت ساختگی هر گره، به ترتیب، با  $m$  و  $\dot{x}$  نشان داده می‌شوند. بر پایه این معیار، اگر جمع کارمایه جنبشی هر سه راستا کمتر از خطای مجاز باشد، همگرایی به دست می‌آید. آشکار است که این جمع از تمام گره‌های شبکه‌بندی نتیجه می‌شود.

**صفحه مربعی با تکیه‌گاه‌های ساده.** نخست، صفحه مربعی بر روی تکیه‌گاه‌های ساده تحلیل می‌گردد. اندازه پهلوه‌های سازه نیز برابر  $4$  متر است. از شبکه‌بندی  $16 \times 16$  بهره‌جویی می‌شود. زمان و شمار کل تکرارهای تحلیل در جدول (۹) می‌آید. میرایی متغیر  $1$  و  $2$ ، به ترتیب، معیار همگرایی سرعت و نسبت تغییر مکان دو گام پیایی می‌باشند. جدول (۹) آشکار می‌سازد، خطای مجازی وجود ندارد که خیز در بیشینه بار برای معیار کارمایه جنبشی را برابر با خیز در بیشینه بار معیار سرعت کند. بر پایه نتیجه‌های این جدول، اگر از میرایی متغیر به جای میرایی ثابت استفاده شود،  $15$  درصد زمان و  $13$  درصد در شمار تکرارها کاهش به وجود می‌آید. از سوی دیگر، مقایسه معیار همگرایی سرعت و تغییر مکان، برتری معیار تغییر مکان در کاهش بیشتر زمان تحلیل و شمار تکرارها را نشان می‌دهد. در این نمونه، خطای مجاز برای معیار تغییر مکان

مجاز به خیز یکسانی برای هر سه معیار همگرایی میرایی متغیر در تمامی بارها می‌انجامد. پاسخ‌های جدول (۱۰) آشکار می‌کند که استفاده از میرایی متغیر اثر چندانی بر نرخ همگرایی ندارد. با وجود این، موجب کاهش ناچیزی در زمان و شمار تکرارها می‌شود. مقایسه معیارهای همگرایی متفاوت برای میرایی متغیر نشان می‌دهند که معیار سرعت و کارمایه جنبشی، کم و بیش رفتار یکسانی را از خود به نمایش می‌گذارند. برخلاف آن، معیار تغییرمکان موجب کاهش نرخ همگرایی و افزایش زمان تحلیل و شمار تکرارها می‌شود. نمودار خیز و شمار تکرارها در برابر بار همانند شکل (۸) است. در این جا نیز دقت هر چهار روش یکسان می‌باشد. نتایج با مرجع [13] هماهنگی دارد.

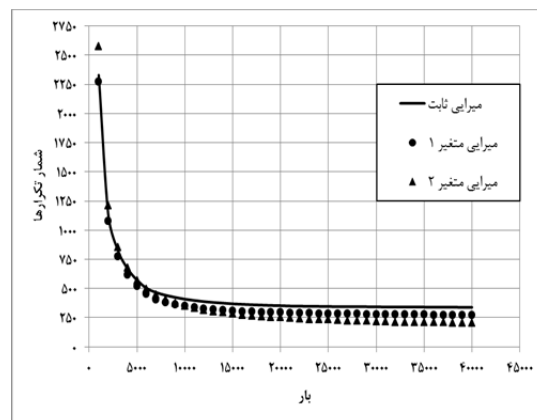
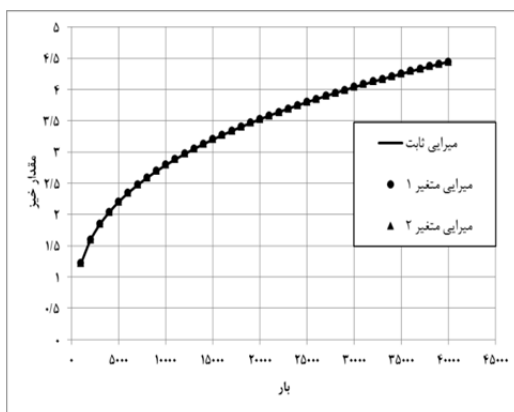
$1.1 \times 10^{-5}$  به دست آمد. چون باید دقت هر روش نیز بررسی شود، نیاز به پاسخ دقیق در هر نمو بارگذاری می‌باشد که در دسترس نیست. شکل (۷) نشان می‌دهد که نمودارهای خیز بر روی هم قرار دارند. در نتیجه، دقت سه روش یکسان خواهد بود. نتایج با مرجع [13] هماهنگی دارد.

### سازه بی‌نهایت با تکیه‌گاه‌های ساده

صفحه بی‌نهایتی در جهت  $y$  با تکیه‌گاه‌های ساده تحلیل می‌گردد. اندازه پهلوی صفحه در جهت  $x$  برابر با ۴ متر و در جهت  $y$  برابر با ۵۰ است. شبکه بندی  $8 \times 10$  به کار می‌رود. زمان کل تحلیل و شمار تکرارها، همانند جدول (۱۰) است. میرایی متغیر ۳، به معیار همگرایی کارمایه جنبشی اشاره دارد. در این نمونه، خطای مجاز برای معیار تغییرمکان و کارمایه جنبشی، به ترتیب،  $7 \times 10^{-8}$  و  $3.3 \times 10^{-6}$  به دست آمد. این خطاهای

جدول ۹ زمان و شمار کل تکرارهای تحلیل صفحه مربعی با تکیه‌گاه‌های ساده

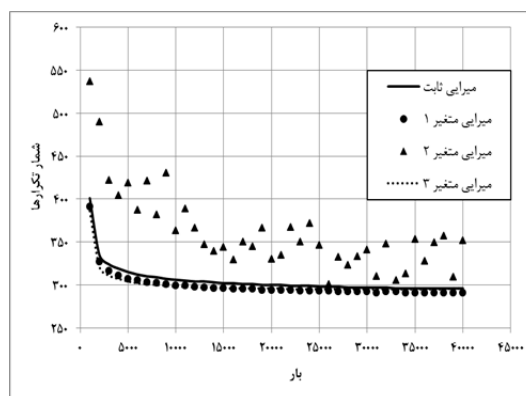
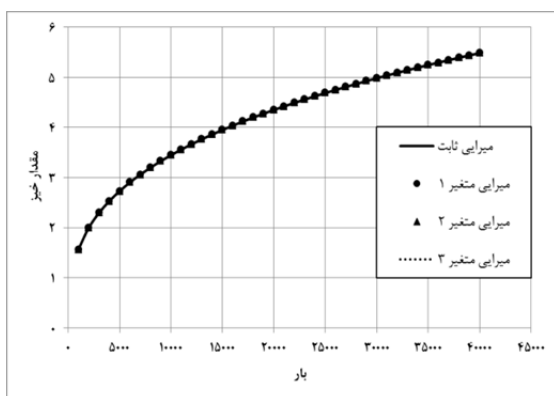
گونه میرایی	میرایی ثابت	میرایی متغیر ۱	میرایی متغیر ۲
شمار کل تحلیل	۱۸۳۵۰	۱۵۹۰۷	۱۵۱۹۱
زمان کل تحلیل (ثانیه)	۵۱۴/۰۹۳	۴۳۹/۳۵۹	۴۲۲/۷۳۵



شکل ۷ شمار تکرارها و خیز بیشینه صفحه مربعی با تکیه‌گاه‌های ساده

جدول ۱۰ زمان کل تحلیل و شمار تکرارهای صفحه بی نهایت با تکیه گاه ساده

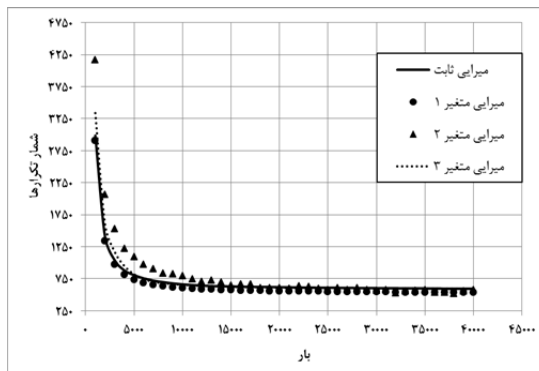
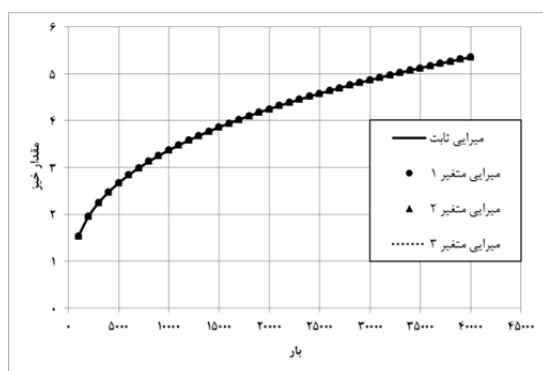
گونه میرایی	میرایی ثابت	میرایی متغیر ۱	میرایی متغیر ۲	میرایی متغیر ۳
شمار کل تحلیل	۱۲۲۰۴	۱۱۹۶۱	۱۴۴۸۴	۱۱۹۹۷
زمان کل تحلیل (ثانیه)	۱۱۴۲/۹۲۲	۱۰۹۸/۳۴۴	۱۲۵۸/۲۰۴	۱۰۶۲/۳۴۴



شکل ۸ شمار تکرارها و خیز بیشینه صفحه بی نهایت با تکیه گاه ساده

جدول ۱۱ زمان کل تحلیل و شمار تکرارهای صفحه چهارپهلوی با تکیه گاه های ساده

گونه میرایی	میرایی ثابت	میرایی متغیر ۱	میرایی متغیر ۲	میرایی متغیر ۳
شمار کل تحلیل	۲۸۹۶۱	۲۶۴۹۸	۳۲۴۷۰	۲۹۵۶۱
زمان کل تحلیل (ثانیه)	۱۶۲۵/۳۵۹	۱۴۹۶/۰۳۱	۱۷۵۱/۷۶۵	۱۶۱۲/۱۷۲



شکل ۹ شمار تکرارها و مقدار خیز مرکز صفحه چهارپهلوی با تکیه گاه های ساده

به پهلوی صفحه در همان راستا برابر  $0/25$  باشد. اندازه پهلوی کوچک تر برابر با  $4$  متر است. به دلیل یکسان بودن رفتار این صفحه ها، تنها نتیجه های صفحه ای با نسبت پهلوی  $2$  و شبکه بندی

صفحه های چهارپهلوی با شبکه بندی های گوناگون. صفحه های چهار پهلویی با نسبت پهلوی  $1/25$ ،  $1/5$ ،  $1/75$  و  $2$  در این بخش بررسی می شود. شبکه بندی ها به گونه ای به کار می روند که نسبت اندازه پهلوی شبکه

۳۲×۱۶ می آید. خطای مجاز برای معیار تغییر مکان و کارمایه جنبشی برای این نمونه، به ترتیب،  $5.7 \times 10^{-7}$  و  $4 \times 10^{-6}$  به دست آمدند. پاسخ های این سازه را جدول (۱۱) و شکل (۹) نشان می دهند.

بر پایه جدول (۱۱)، میرایی متغیر با معیار همگرایی سرعت، کاراترین فن بین راه کارها می باشد. این معیار، سبب ۱۰ درصد کاهش در زمان و شمار تکرارهای تحلیل می شود. باید افزود، این کاهش کمترین مقدار در بین این چهار صفحه است. برای نمونه، در صفحه ای با نسبت پهلوی ۱/۲۵ و شبکه بندی  $16 \times 20$ ، مقدار کاهش به ۱۵ درصد می رسد. شیوه میرایی متغیر با معیار تغییر مکان نیز موجب افزایش زمان و شمار تکرارها می گردد. بر پایه شکل (۹)، خطاهای مجاز، خیز یکسانی را برای هر سه معیار همگرایی میرایی متغیر می دهند. در نتیجه، دقت این سه معیار یکسان خواهد بود. نتایج با مرجع [13] هماهنگی

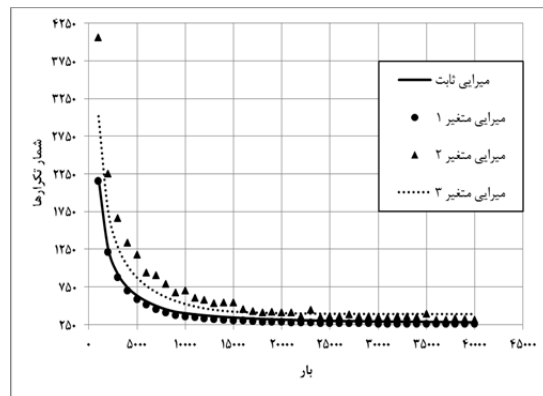
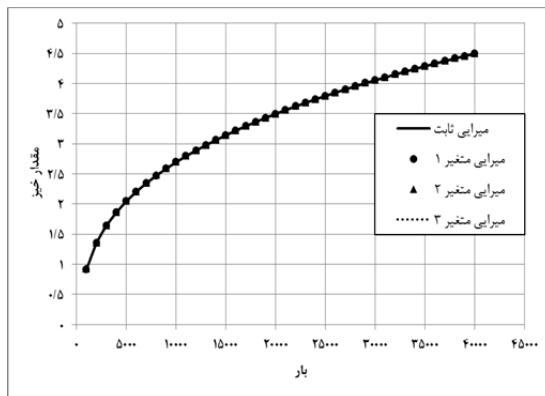
دارد.

**صفحه مربعی با تکیه گاه های گیردار.** پاسخ صفحه ای مربع شکل بر روی تکیه گاه های گیردار به دست می آید. اندازه پهلوی های صفحه نیز برابر ۴ متر اختیار می شود. از شبکه بندی  $16 \times 16$  بهره جویی شده است.

شکل (۱۲) و جدول (۱۲) آشکار می سازند که استفاده از معیار همگرایی سرعت در میرایی متغیر، بهترین کارکرد را دارد. این معیار، در زمان تحلیل و شمار تکرارها کاهش ۱۰ درصدی را موجب می گردد؛ برخلاف آن، معیار تغییر مکان، افزایش بسیاری در شمار تکرارها را در پی دارد. شکل (۱۰) نشان می دهد هر سه معیار همگرایی در میرایی متغیر، دقت یکسانی را دارا می باشند. نتایج با مرجع [13] هماهنگی دارد.

جدول ۱۲ زمان کل تحلیل و شمار تکرارهای صفحه مربعی روی تکیه گاه های گیردار

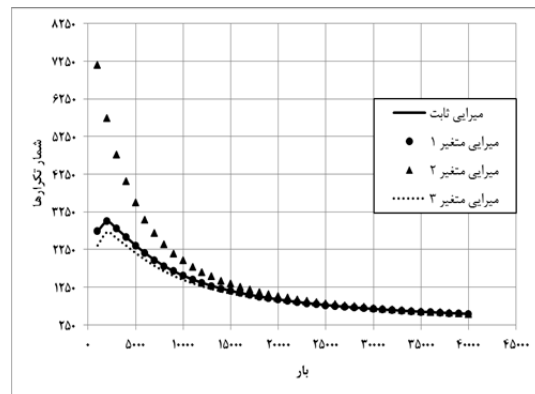
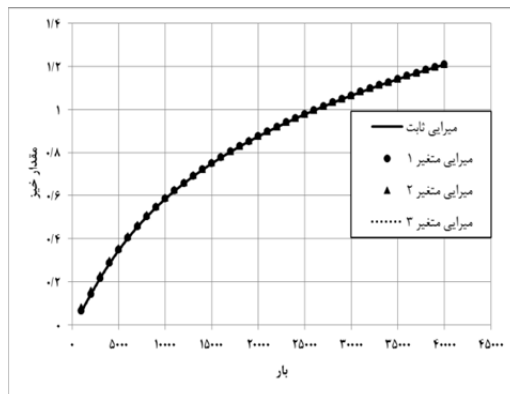
گونه میرایی	میرایی ثابت	میرایی متغیر ۱	میرایی متغیر ۲	میرایی متغیر ۳
شمار کل تحلیل	۱۷۳۳۷	۱۵۸۸۰	۲۶۳۶۴	۲۳۲۰۲
زمان کل تحلیل (ثانیه)	۴۹۲/۸۹۱	۴۴۹/۲۹۷	۷۴۱/۶۵۷	۶۵۸/۹۶۹



شکل ۱۰ شمار تکرارها و مقدار خیز بیشینه صفحه مربعی روی تکیه گاه های گیردار

جدول ۱۳ زمان کل تحلیل و شمار تکرارها برای صفحه مربعی با ضخامت متفاوت و تکیه گاه ساده

گونه میرایی	میرایی ثابت	میرایی متغیر ۱	میرایی متغیر ۲	میرایی متغیر ۳
شمار کل تحلیل	۴۷۷۹۴	۴۷۳۹۹	۶۴۷۸۰	۴۴۵۵۵
زمان کل تحلیل (ثانیه)	۱۳۴۹/۷۸۱	۱۳۵۰/۳۵۹	۱۸۵۶/۱۴	۱۲۴۱/۵۹۴



شکل ۱۱ شمار تکرارها و مقدار خیز مرکز صفحه مربعی با ضخامت گاه متفاوت و تکیه‌گاه ساده

بارهای کم، متفاوت از خیز معیار سرعت می‌باشد. با افزایش بار، خیزهای سه معیار برابر می‌شوند و دقت این سه معیار یکسان می‌گردد. باید افزود، با افزایش بار، هر سه معیار میرایی متغیر به نتیجه‌های میرایی ثابت همگرا می‌شوند.

**صفحه مربعی با ضخامت متغیر و تکیه‌گاه‌های ساده-گیردار.** این صفحه همانند نمونه پیشین می‌باشد؛ تنها اختلاف آن، قرارگیری بر سه تکیه‌گاه ساده و یک تکیه‌گاه گیردار است. اندازه پهلوه‌های سازه برابر ۴ متر می‌باشند. شبکه‌بندی ۱۶×۱۶ به‌کار می‌رود. جدول (۱۴) و شکل (۱۲)، پاسخ‌ها را نشان می‌دهند. خطای مجاز برای معیار تغییر مکان و کارمایه جنبشی، به ترتیب،  $4.89 \times 10^{-5}$  و  $3.7 \times 10^{-5}$  می‌باشند. نتایج با مرجع [۱۳] هماهنگی دارد. همان‌گونه که از جدول (۱۴) و شکل (۱۲) برمی‌آید، نتیجه‌ها مانند نمونه پیشین است.

**صفحه چهارگوش سوراخ دار.** اکنون، صفحه چهارپهلوی دارای بازو بررسی می‌شود. شکل (۱۳) آن را نمایش می‌دهد. این نمونه، پیش از این، تحلیل نشده است. خط‌چین‌ها، تکیه‌گاه ساده را نشان می‌دهند. سایر مرزها، گیردار هستند. بررسی این صفحه با شبکه‌بندی  $20 \times 20$  انجام می‌پذیرد. برای این نمونه، بار در ۱۰ گام

**صفحه مربعی با ضخامت متغیر و تکیه‌گاه‌های ساده.**

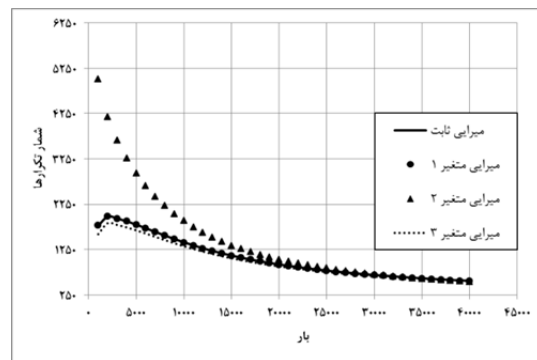
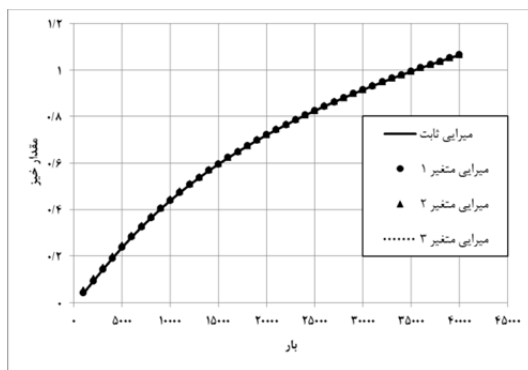
در این تحلیل، صفحه‌ای مربعی با سفتی خمشی گوناگون در راستای  $y$  بررسی می‌شود. ورق از چهار سو، روی تکیه‌گاه ساده قرار دارد. تغییر سفتی خمشی سازه به صورت نمایی است. به سخن دیگر، سفتی خمشی با تابع  $D = D_0 e^{\lambda y}$  تغییر می‌کند. سفتی خمشی صفحه در مرکز  $D_0$  است. ضریب  $\lambda$  به گونه‌ای پیدا می‌شود که مقدار سفتی در لبه‌های  $y=0, b$ ، هشت برابر سفتی خمشی صفحه در مرکز باشد. مقدارهای سفتی خمشی ( $D_0$ ) و ضخامت سازه ( $h$ )، برابر یک اختیار می‌شوند. اندازه پهلوه‌های صفحه ( $a$ ) برابر ۴ متر می‌باشند. شبکه‌بندی ۱۶×۱۶ به‌کار می‌رود. جدول (۱۳) و شکل (۱۱)، نتیجه‌ها را نشان می‌دهند. خطای مجاز برای معیار تغییر مکان و کارمایه جنبشی، به ترتیب،  $4.3 \times 10^{-5}$  و  $4.675 \times 10^{-5}$  می‌باشند. بر پایه جدول (۱۳) و برخلاف آن چه تاکنون آمد، میرایی ثابت و میرایی متغیر بر اساس معیار سرعت، رفتار یکسانی از خود نشان می‌دهند. میرایی متغیر بر پایه کارمایه جنبشی، بیشترین کارایی را دارد و سبب کاهش ۹ درصدی در زمان و شمار تکرارها می‌شود. نتایج با مرجع [13] هماهنگی دارد.

شکل (۱۱) آشکار می‌سازد که با خطای مجاز انتخابی، خیز دو معیار تغییر مکان و کارمایه جنبشی در

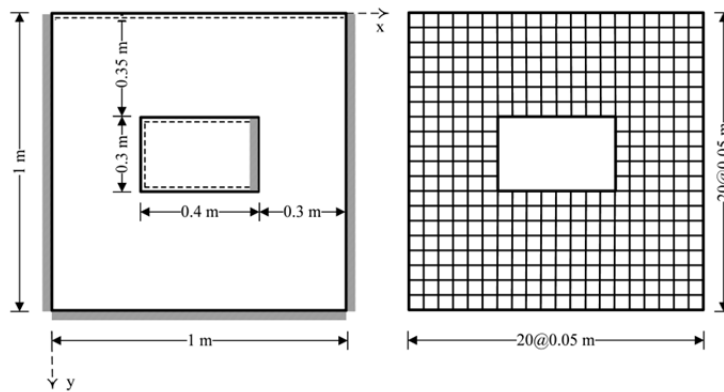
وارد می‌شود. بیشینه عامل بدون بُعد بار برابر ۵۰۰۰ می‌باشد. جدول (۱۵) و شکل (۱۶)، پاسخ‌ها را نشان می‌دهند. خطای مجاز برای معیار تغییر مکان و کارمایه جنبشی، به ترتیب،  $4 \times 10^{-5}$  و  $3 \times 10^{-5}$  می‌باشند.

جدول ۱۴ زمان کل تحلیل و شمار تکرارهای صفحه مربعی با سفتی و تکیه‌گاه گوناگون

گونه میرایی	میرایی ثابت	میرایی متغیر ۱	میرایی متغیر ۲	میرایی متغیر ۳
شمار کل تحلیل	۴۲۱۵۳	۴۱۸۵۷	۵۷۸۷۴	۳۹۸۳۸
زمان کل تحلیل (ثانیه)	۱۱۷۷/۷۰۳	۱۱۹۲/۶۵۷	۱۶۵۶/۸۴۴	۱۱۷۶/۷۱۸



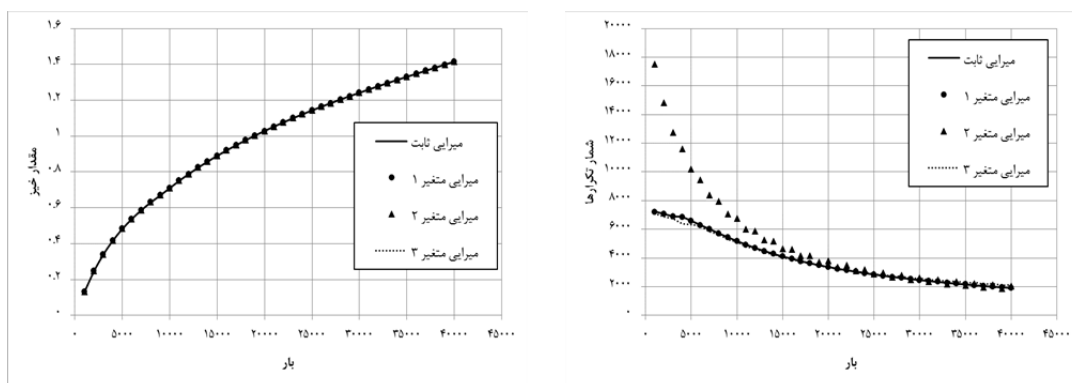
شکل ۱۲ شمار تکرارها و خیز مرکز صفحه مربعی با سفتی و تکیه‌گاه گوناگون



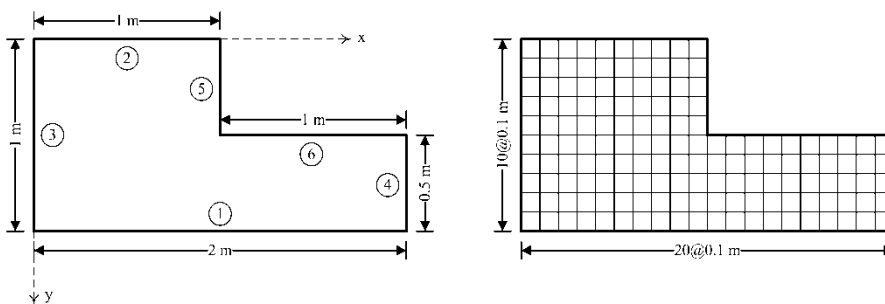
شکل ۱۳ هندسه صفحه چهارگوش سوراخ دار

جدول ۱۵ زمان کل تحلیل و شمار تکرارهای صفحه چهارگوش سوراخ دار

گونه میرایی	میرایی ثابت	میرایی متغیر ۱	میرایی متغیر ۲	میرایی متغیر ۳
شمار کل تحلیل	۱۵۴۰۸۲	۱۵۳۰۸۸	۲۰۵۰۴۷	۱۵۲۹۸۸
زمان کل تحلیل (ثانیه)	۲۹۴۴/۱۲۵	۲۸۹۶/۴۲	۳۷۴۱/۸۵۳	۲۸۵۰/۱۵۲



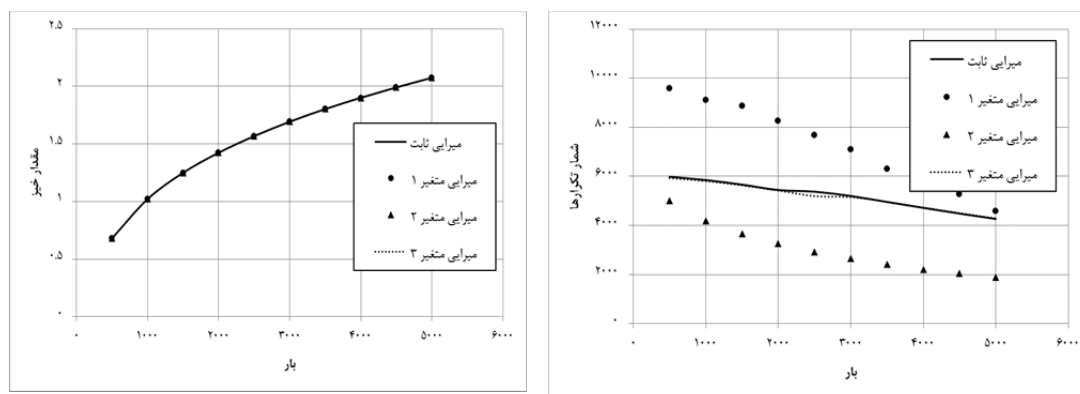
شکل ۱۴ شمار تکرارها و خیز مرکز صفحه چهارگوش سوراخ دار



شکل ۱۵ هندسه صفحه L شکل

جدول ۱۶ زمان کل تحلیل و شمار تکرارهای صفحه L شکل

میرایی متغیر ۳	میرایی متغیر ۲	میرایی متغیر ۱	میرایی ثابت	گونه میرایی
۵۱۷۲۹	۷۰۳۸۶	۵۱۵۵۴	۵۲۰۴۴	شمار کل تحلیل
۱۸۲۳/۰۵۴	۲۵۶۱/۳۸۶	۱۸۰۰/۵۷۹	۱۸۷۹/۴۷۳	زمان کل تحلیل (ثانیه)



شکل ۱۶ شمار تکرارها و خیز مرکز صفحه L شکل



دسترس قرار گرفت و مقداری برای  $F$  تعیین گشت تا همگرایی را برقرار نماید. باید افزود، همگرایی افزون بر وابسته بودن به  $F$ ، به مقدار بار و شبکه‌بندی نیز وابسته است. آشکار گردید با  $F=0.75$  و شبکه‌بندی ریز و در حالتی که نسبت اندازه پهلوی هر شبکه به پهلوی صفحه در همان راستا برابر  $0.25$  باشد، همگرایی به‌ازای هر باری برقرار خواهد بود. در تحلیل صفحه‌های با تغییرشکل‌های کوچک، می‌توان برای سرعت بخشیدن به همگرایی عامل  $F$  را بسیار بیشتر از  $0.75$  انتخاب کرد.

از سوی دیگر، با استفاده از  $F=0.75$ ، صفحه‌هایی با دو میرایی متغیر و ثابت تحلیل شدند. برای رسیدن به همگرایی در راه‌کار میرایی متغیر، نویسندگان از سه معیار سرعت، کارمایه جنبشی و نسبت تغییرمکان دو گام پیاپی بهره گرفتند. برای میرایی ثابت، تنها معیار سرعت به‌کار رفت. بارگذاری در  $40$  نمو انجام پذیرفت و از پاسخ‌های نمو پیشین نیز برای سرعت بخشیدن به همگرایی استفاده گشت. خطای مجاز برای معیارهای همگرایی کارمایه جنبشی و نسبت تغییرمکان دو گام پیاپی، با فرآیند آزمون و خطا در دسترس قرار گرفت؛ به‌گونه‌ای که مقدار خیز در بیشینه بار برابر با مقدار آن بر پایه معیار سرعت شد. این خطای مجاز، تفاوت مقدار خیز با معیار سرعت در سایر بارها را دست‌بالا  $0.1$  درصد و یا بسیار کمتر از این مقدار می‌دهد. هم‌چنین، مقدار نیروهای داخلی نیز بسیار به یکدیگر نزدیک بودند. پاسخ‌های عددی نشان می‌دهند که روش پیشنهادی سبب کاهش شمار تکرارها و زمان رسیدن به همگرایی می‌شود. این کاهش در کمترین حالت  $10$  درصد بود. بنابراین، شایسته خواهد بود که در گونه تفاوت محدود رهایی پویا میرایی متغیر و معیار همگرایی سرعت به‌کار رود. افزون بر اینها، آشکار شد که استفاده از معیار نسبت تغییرمکان دو گام پیاپی کم‌ترین اثر را در تحلیل دارد و بدترین پاسخ‌ها را در بیشتر مسئله‌ها به‌دست می‌دهد.

صفحه  $L$  شکل. در ادامه، صفحه نشان داده شده در شکل (۱۵) واکاوی می‌شود. شبکه‌بندی به‌کار رفته در شکل (۱۵) نشان داده شده است. از  $150$  جزء بهره‌جویی شده است. لبه‌های  $2$  و  $3$  گیردار هستند. سایر مرزها، تکیه‌گاه ساده می‌باشند. مرجع [48] این صفحه را فقط برای یک گام بارگذاری تحلیل کرده است. برای این نمونه نیز، شمار گام‌های بارگذاری و بیشینه عامل بدون بعد بار، به‌ترتیب،  $10$  و  $5000$  می‌باشند. جدول (۱۶) و شکل (۱۶)، پاسخ‌ها را نشان می‌دهند. خطای مجاز برای معیار تغییرمکان و کارمایه جنبشی، به‌ترتیب،  $4 \times 10^{-5}$  و  $3 \times 10^{-5}$  می‌باشند.

تجربه‌های عددی تاکنون آشکار کردند که میرایی متغیر بر پایه معیار همگرایی سرعت، به کاهش زمان تحلیل و شمار تکرارها می‌انجامد. نمونه‌هایی که در این پژوهش به آن پرداخته شد، صفحه‌های ساده‌ای بودند که استفاده از معیار سرعت برای میرایی متغیر، کاهش  $10$  درصدی زمان تحلیل‌ها را در پی داشتند. چنانچه صفحه‌ها چندین تکیه‌گاه و یا شکل هندسی پیچیده‌ای داشته باشند، این کاهش  $10$  درصدی بسیار مفید است و اهمیت فراوانی دارد.

### نتیجه‌گیری

برتری شیوه تفاوت محدود نسبت به سایر روش‌ها در این است که در فن تفاوت محدود نیازی به برپا ساختن ماتریس سختی، بردار نیروهای جزءها و سوار نمودن آنها نمی‌باشد. از این‌رو، شمار تکرارها و زمان تحلیل برای رسیدن به پاسخ کاهش می‌یابد. هم‌چنین، می‌توان از رایانه‌ای با توانایی انبارسازی کم بهره‌جست. برای تحلیل ناخطی هندسی صفحه‌های خمشی راست‌پهلوی، فن تفاوت‌های محدود به همراه راه‌حل رهایی پویا در این مقاله به‌کار رفت. جرم ساختگی با استفاده از روش پیشنهادی کسل و هبس به‌دست آمد و میرایی ساختگی به دو گونه ثابت و متغیر پنداشته شدند. میرایی از برابری  $c_{\alpha_{i,j}} = m_{\alpha_{i,j}}(F)^{-1}$  در

## مراجع

1. Timoshenko, S. and Woinowsky-Krieger, S., "*Theory of plates and shells*", McGraw-hill, New York, (1959).
2. Szilard, R., "*Theories and applications of plate analysis: classical numerical and engineering methods*", John Wiley & Sons, New Jersey, USA, (2004).
3. Levy, S., "Bending of rectangular plates with large deflections", NACA Technical Note 846, pp. 1-46, (1942).
4. Mindlin, R.D., "Influence of rotatory inertia and shear on flexural motions of isotropic elastic plates", *Journal of Applied Mechanics*, Vol. 18, pp. 31-38, (1951).
5. Reissner, E., "The effect of transverse shear deformation on the bending of elastic plates", *Journal of Applied Mechanics*, Vol. 12, pp. A69-A77, (1954).
6. Bergan, P.G. and Clough, R.W., "Large deflection analysis of plates and shallow shells using the finite element method", *International Journal for Numerical Methods in Engineering*, Vol. 5 (4), pp. 543-556, (1973).
7. Yang, R. and Bhatti, M., "Nonlinear static and dynamic analysis of plates", *Journal of Engineering Mechanics*, Vol. 111 (2), pp. 175-187, (1985).
8. Dawe, D.J., Lam, S.S.E. and Azizian, Z.G., "Non-linear finite strip analysis of rectangular laminates under end shortening, using classical plate theory", *International Journal for Numerical Methods in Engineering*, Vol. 35 (5), pp. 1087-1110, (1992).
9. Otter, J.R.H. and Day, A.S., "Tidal computations", *The Engineer*, Vol. 289, pp. 177-182, (1960).
10. Otter, J.R.H., "Computations for pre-stressed concrete reactor pressure vessels using dynamic relaxation", *Nuclear Structural Engineering*, Vol. 1 (1), pp. 61-75, (1965).
11. Day, A.S., "An introduction to dynamic relaxation", *The Engineer*, Vol. 219, pp. 218-221, (1965).
12. Frankel, S.P., "Convergence rates of iterative treatments of partial differential equations", *Math. Tables and Other Aids to Computation*, Vol. 4 (30), pp. 65-75, (1950).
13. Rushton, K.R., "Large deflection of variable-thickness plates", *International Journal of Mechanical Sciences*, Vol. 10 (9), pp. 723-735, (1968).
14. Rushton, K.R., "Post-buckling of tapered plates", *International Journal of Mechanical Sciences*, Vol. 11 (5), pp. 461-480, (1969).
15. Basu, A. and Dawson, J., "*Orthotropic sandwich plates*", Proc. Inst Civil Engineers Proc, London, UK, pp. 87-115, (1970).
16. Rushton, K.R., "Buckling of laterally loaded plates having initial curvature", *International Journal of Mechanical Sciences*, Vol. 14 (10), pp. 667-680, (1972).
17. Turvey, G. and Wittrick, W., "The large deflection and post-buckling behavior of some laminated plates", *Aeronautical Quarterly*, Vol. 24, pp. 77-86, (1973).
18. Alwar, R.S. and Rao, N.R., "Nonlinear analysis of orthotropic skew plates", *AIAA Journal*, Vol. 11 (4), pp. 495-498, (1973).
19. Alwar, R.S. and Rao, N.R., "Large elastic deformations of clamped skewed plates by dynamic relaxation", *Computers & Structures*, Vol. 4 (2), pp. 381-398, (1974).
20. Rushton, K.R. and Hook, P.M., "Large deflection of plates and beams obeying non-linear stress-strain laws", *The Journal of Strain Analysis for Engineering Design*, Vol. 9 (3), pp. 178-184, (1974).
21. Hook, P.M. and Rushton, K.R., "Buckling of beams and plates onto an intermediate support studied by the dynamic relaxation method", *The Journal of Strain Analysis for Engineering Design*, Vol. 10 (3), pp. 153-158, (1975).

22. Frieze, P.A., Hobbs, R.E. and Dowling, P.J., "Application of dynamic relaxation to the large deflection elasto-plastic analysis of plates", *Computers & Structures*, Vol. 8 (2), pp. 301-310, (1978).
23. Turvey, G.J., "Large deflection of tapered annular plates by dynamic relaxation", *Journal of the Engineering Mechanics Division*, Vol. 104 (2), pp. 351-366, (1978).
24. Pica, A. and Hinton, E., "Transient and pseudo-transient analysis of Mindlin plates", *International Journal for Numerical Methods in Engineering*, Vol. 15 (2), pp. 189-208, (1980).
25. Turvey, G.J. and Der Avanessian, N.G.V., "DR analysis of beams using graded finite differences", *Computers & Structures*, Vol. 22 (5), pp. 737-742, (1986).
26. Al-Shawi, F.A.N. and Mardirosoian, A.H., "An improved dynamic relaxation method for the analysis of plate bending problems", *Computers & Structures*, Vol. 27 (2), pp. 237-240, (1987).
27. Zhang, L.G. and Yu, T.X., "Modified adaptive dynamic relaxation method and its application to elastic-plastic bending and wrinkling of circular plates", *Computers & Structures*, Vol. 33 (2), pp. 609-614, (1989).
28. Turvey, G.J. and Osman, M.Y., "Elastic large deflection analysis of isotropic rectangular Mindlin plates", *International Journal of Mechanical Sciences*, Vol. 32 (4), pp. 315-328, (1990).
29. Turvey, G.J. and Salehi, M., "DR large deflection analysis of sector plates", *Computers & Structures*, Vol. 34 (1), pp. 101-112, (1990).
30. Salehi, M. and Turvey, G.J., "Elastic large deflection response of annular sector plates—a comparison of dr finite-difference, finite element and other numerical solutions", *Computers & Structures*, Vol. 40 (5), pp. 1267-1278, (1991).
31. Kadkhodayan, M., Zhang, L.C. and Sowerby, R., "Analyses of wrinkling and buckling of elastic plates by DXDR method", *Computers & Structures*, Vol. 65 (4), pp. 561-574, (1997).
32. Turvey, G.J. and Salehi, M., "Annular sector plates: Comparison of full-section and layer yield predictions", *Computers & Structures*, Vol. 83 (28–30), pp. 2431-2441, (2005).
33. Cassell, A., Kinsey, P. and Sefton, D., "Cylindrical shell analysis by dynamic relaxation", *Proc. ICE Proceedings*, Vol. 39, pp. 75-84, (1968).
34. Otter, J., Pippard, A., Lane, R., Welch, A., King, I., Wood, W., Cubitt, N., Hayes, R., Hobbs, R. and Zienkiewicz, O., "Discussion: dynamic relaxation", *Proc. ICE Proceedings*, Vol. 37, pp. 723-750, (1967).
35. Wood, W.L., "Comparison of dynamic relaxation with three other iterative methods", *Engineer*, Vol. 224, pp. 683-687, (1967).
36. Wood, W.L., "Note on dynamic relaxation", *International Journal for Numerical Methods in Engineering*, Vol. 3 (1), pp. 145-147, (1971).
37. Brew, J.S. and Brotton, D.M., "Nonlinear structural analysis by dynamic relaxation", *International Journal for Numerical Methods in Engineering*, Vol. 3 (4), pp. 463-483, (1971).
38. Bunce, J.W., "A note on the estimation of critical damping in dynamic relaxation", *International Journal for Numerical Methods in Engineering*, Vol. 4 (2), pp. 301-303, (1972).
39. Cassell, A.C. and Hobbs, R.E., "Numerical stability of dynamic relaxation analysis of non-linear structures", *International Journal for Numerical Methods in Engineering*, Vol. 10 (6), pp. 1407-1410, (1976).
40. Papadrakakis, M., "A method for the automatic evaluation of the dynamic relaxation parameters", *Computer Methods in Applied Mechanics and Engineering*, Vol. 25 (1), pp. 35-48, (1981).
41. Felippa, C.A., "Dynamic relaxation under general increment control", *Mathematical Programming*, Vol. 24, pp. 103-133, (1982).
42. Underwood, P., "Dynamic relaxation (in structural transient analysis)", *Computational methods for transient analysis (A 84-29160 12-64)*, Amsterdam, North-Holland, pp. 245-265, (1983).

43. Qiang, S., "An adaptive dynamic relaxation method for nonlinear problems", *Computers & Structures*, Vol. 30 (4), pp. 855-859, (1988).
44. Zhang, L.C., Kadkhodayan, M. and Mai, Y.W., "Development of the maDR method", *Computers & Structures*, Vol. 52 (1), pp. 1-8, (1994).
45. Munjiza, A., "A  $K^m$  proportional damping for dynamic relaxation", *International Journal for Engineering Modelling*, Vol. 9 (1-4), pp. 1-9, (1996).
46. Munjiza, A., Owen, D.R.J. and Crook, A.J.L., "An  $M(M^{-1}K)^m$  proportional damping in explicit integration of dynamic structural systems", *International Journal for Numerical Methods in Engineering*, Vol. 41 (7), pp. 1277-1296, (1998).
47. Rezaiee-Pajand, M. and Taghavian Hakkak, M., "Nonlinear analysis of truss structures using dynamic relaxation", *International Journal of Engineering*, Vol. 19 (1), pp. 11-22, (2006).
48. Kadkhodayan, M., Alamatian, J. and Turvey, G.J., "A new fictitious time for the dynamic relaxation (DXDR) method", *International Journal for Numerical Methods in Engineering*, Vol. 74 (6), pp. 996-1018, (2008).
49. Rezaiee-Pajand, M. and Alamatian, J., "Nonlinear dynamic analysis by dynamic relaxation method", *Structural Engineering & Mechanics*, Vol. 28 (5), pp. 549-570, (2008).
۵۰. رضایی پژند، محمد و علامتیان، جواد "روش رهایی پویا برای پیمایش مسیر ایستایی سازه‌های خریایی"، *مجله ماسازی در مهندسی*، سال هفتم، شماره ۱۷، صص ۳۹-۲۷، (۱۳۸۸).
۵۱. سرافرازی، سید رضا، "تابع اولیه گیری عددی برای تحلیل پویای سازه‌ها"، رساله دکتری مهندسی عمران (سازه)، دانشکده مهندسی، دانشگاه فردوسی مشهد، (۱۳۸۹).
52. Rezaiee-Pajand, M. and Sarafrazi, S.R., "Nonlinear structural analysis using dynamic relaxation method with improved convergence rate", *International Journal of Computational Methods*, Vol. 7 (4), pp. 627-654, (2010).
53. Rezaiee-Pajand, M. and Alamatian, J., "The dynamic relaxation method using new formulation for fictitious mass and damping", *Structural Engineering and Mechanics*, Vol. 34 (1), pp. 109-133, (2010).
54. Rezaiee-Pajand, M., Kadkhodayan, M., Alamatian, J. and Zhang, L.C., "A new method of fictitious viscous damping determination for the dynamic relaxation method", *Computers & Structures*, Vol. 89 (9-10), pp. 783-794, (2011).
55. Rezaiee-Pajand, M. and Alamatian, J., "Automatic DR structural analysis of snap-through and snap-back using optimized load increments", *Journal of Structural Engineering*, Vol. 137 (1), pp. 109-116, (2011).
56. Rezaiee-Pajand, M. and Sarafrazi, S.R., "Nonlinear dynamic structural analysis using dynamic relaxation with zero damping", *Computers & Structures*, Vol. 89 (13-14), pp. 1274-1285, (2011).
57. Rezaiee-Pajand, M., Kadkhodayan, M. and Alamatian, J., "Timestep selection for dynamic relaxation method", *Mechanics Based Design of Structures and Machines*, Vol. 40 (1), pp. 42-72, (2012).
58. Rezaiee-Pajand, M., Sarafrazi, S.R. and Rezaiee, H., "Efficiency of dynamic relaxation methods in nonlinear analysis of truss and frame structures", *Computers & Structures*, Vol. 112-113, pp. 295-310, (2012).
۵۹. رضایی، حسین، "تحلیل ناخطی سازه‌ها با روش رهایی پویا"، پایان نامه کارشناسی ارشد مهندسی عمران (سازه)، دانشکده مهندسی، دانشگاه فردوسی مشهد، (۱۳۹۰).
60. Topping, B.H.V. and Ivanyi, P., "Computer aided design of cable membrane structures", Saxe-Coburg Publications, Scotland, pp. 39-84, (2008).
61. Cundall, P., "Explicit finite-difference methods in geomechanics", *Proc. Proceeding 2nd International Conference on Numerical Methods in Geomechanics*, Vol. 1, Blacksburg, Virginia., pp. 132-150, (1976).